

の判断が極めて大きな役割をする。Strickler-Gaukler 公式に依つて模型用砂を決定することは河床を粗度的に相似ならしめ得られるが、砂礫の移動に関しては何等の相似的関係はないのである。

著者は可動河床の模型実験では河床砂礫の移動状況を相似ならしめることが此の場合最も必要な處置と考へた。豫備実験の結果限界掃流力 S_0 を

$$S_0 = \gamma H_0 I_0$$

と定義すれば、之は砂礫の性質に依る或る定数である。即ち砂粒の掃流限界點に於ては水深と勾配とは反比例すると云ふことを確めたのであって、此の關係から模型用砂を掃流力の相似に決めることが出来るのを知つたのである。併し此の場合とも流況の河床に及ぼす影響に關しては尙理論的には不明瞭であつて、實験者の判断にまつところが多い。著者は本文の最初に河川處理に當つては理論的根據を十分把握すると共に模型実験、自然觀察の必要性を説いたのであるが、現況に於ても模型実験に於ても經驗に依る判断が重要なのである。さればこそ吾々は更に一步進めて此の經驗的判断を裏付けるところの理論的根據を確實にする要があり、之に依つて一段と高い普遍性を得ることが出来るのである。

〔2〕河 相 論

〔2.1〕概 説

河川を處理する場合に吾々は常に其の河川の特異性を十分把握する必要のあることを教へられて來た。一般に河川改修を行ふ場合には良く其の河状を觀察し、現在與へられてゐる河幅から限られてゐる水深が河床に如何なる影響を與へてゐるかを調査して後之が處置を講ずべきであつて、無暗に河幅を擴げれば水深は淺くなり各所に土砂は堆積し亂流の基となるし、河幅を狭くすれば河床

は洗掘せられ其の動搖は劇しくなつて不測の結果を來す虞がある。捷水路に費否兩論のあるものも之が根源を確めてゐないからである。又河道變曲部に於ては過流に依る洗掘狀態と之に對應する對岸の堆積の様子を明らかにしなければ新しい曲率半径を持つ彎曲法線を決定することは出來ない。護岸、水制等の工作物に至つては尙更である。現存の環境に於ける工法を十分吟味して其の種類、設置方法を考へねばならない。透過水制は何れの場所に於ても最も有效に其の目的を達してゐる理ではなく、所に依つては不透過水制が效果を擧げてゐる場所もあるし、又連續水制が何處でも效果的であるとは云ひ得ず、獨立水制で十分目的を果してゐる所がある。古くから種々工作されてゐる河川では長い経験と詳細な觀察とから之に作用する諸方に十分抵抗出来る様に適應した手段が仕組まれて來てゐるのである。

夫々の河川は異つた河相を持つており、之に對應して處置方法は當然限られて來ることは既に述べた通りである。吾々は河相を究めなければならない。自然河川の流れを注意深く觀察すれば砂礫の移動、細砂の舞ひ上り、浮游してゐることから、流れは断面全體に亘つて大きな螺旋運動をすると共に流線は互に交錯し、渦を生じてゐることが認められる。河床では細砂は浮揚して流れると共に或るものは跳躍して流れ、更に大粒になれば轉動しながら流下する。河床砂礫は普通は常水路では細かい砂漣を形成してゐるが、其の上に河川全體に亘り流路に従つて大きな波形段丘を形作つて居り、之が全體として次第に下流に移動するもので、此の浮游、跳躍、轉動する状態から考へれば、此の河床砂礫の大小粒混合状態が此の移動状況に大きな關聯を持つて居り、流れの状況も亦之に依つて變ることが十分推察せられる。既に述べた如く Strickler は Gaukler の平均流速公式の流速係数、之は Manning に依つて Kutter 公式の粗度係数 n の逆数で表はれてゐるものであるが、之を河床砂礫の平均粒徑で表はしてをり、又 Kramer は其の實驗から河床に作用する力は砂礫の平均粒徑

とその混合状態で示し得る旨を発表してゐる。著者の實験に於ても此の事實は確められてゐる。

此の亂流の問題及び河床砂礫の洗掘又は沈澱が河床に作用する力と如何に關聯してゐるかの問題に就ては相當古くから, Reynolds, du Buat 以来論議されてゐるものであるが、未だにはつきりした結論には到達してゐない。

著者は流況を支配するものは主として水流の状態と河床を構成してゐる砂礫の粒径、混合比であると考へる。與へられた水面勾配、水深に對し河床が或る一定の粒径、混合比を持つ砂礫からなる場合に河床は安定の状態を保つものであつて、此の或る一定の粒径、混合比から離れる場合に河床は不安定となる。河床が安定なるか、不安定なるかに依つて之に對する處置が當然變つて來なければならぬ。

一般に自然河川に於て上流山地の崩壊が著しく、而も之に接近してゐる地方では河床砂礫には大粒が在ると共に又比較的細粒を多く含んで居り、斯る場合には砂礫は大粒が在つても比較的移動し易く、河床は不安定な状況を示すものであるが、水源地方の山相が良好であるとか、或は崩壊地から相當距離を距て居る場合には流水に依る砂礫の自然選擇作用が行はれ、砂礫の混合比は漸変して、次第に其の河川の流況に適合する様になつて来る。

圖-18. 富士川に於ける砂礫混合状態の變化圖

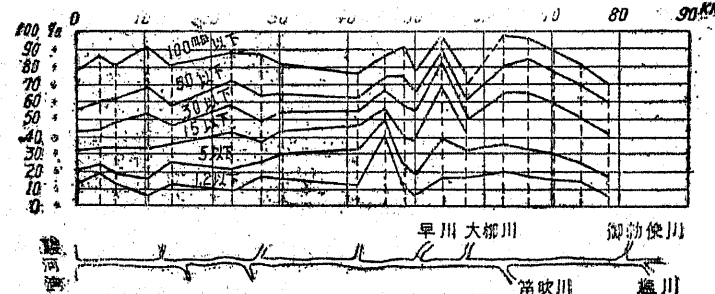


圖-18 は富士川に於ける河床砂礫の混合状態の變化を示す。上流端から笛吹川合流點迄は支川がなく、河幅も一様なので砂礫混合状態は規則正しく變化してゐるが、早川合流點では早川の流送砂礫が多いと共に河幅も擴大されるので著しく状態が異なる。55 km 附近に細砂の多いのは地形上緩勾配をとり、幅員の擴大されてゐるのに依るものである。

〔2.2〕 亂 流

〔2.2.1〕 概 説

自然河川に於ける流れは殆んど總て亂流 (turbulent flow) である。此の亂流の機構に關する問題は解決が極めて困難ではあるが、併しそは水路断面内の流速分布状態、水路周邊又は物體に及ぼす力等に關し重大な關聯を持つてゐる。

亂流の生成は、如何なる條件の下に整流が不安定となつて不規則に變動する亂流に移りかはるか、又亂流の成長、或は老衰の状態等亂流生成後の亂流の機構に關する問題は實驗的には相當論議されてゐるが、之を完全に理論的に説明することは困難であつて、假定を設けて種々の方向から解いて居り、近似的に實驗の結果と比較さるべき成果を得てはゐるが、亂流の機構は複雑なものであり、今後に残された大きな問題である。

亂流の機構に關し最初に之を理論的に研究したのは Reynolds である。Reynolds は不規則に變動する速度を持つところの流水の平均運動を考へたのであつて、此の速度の不規則な變動に基因する見掛けの應力の概念を取り入れた。併しながら當時は未だ個々の具體的問題を解決し得る迄には至らなかつたのである。近年になつて、Prandtl, Tollmien, Taylor 又は Kármán 等に依つて之等の問題は大いに理論的に進展せられた。等質媒介中に於ける自由流線の傳播、平滑水路に於ける流速分布に關する問題等の解法が試みられてゐるが、實驗結果と相當よく一致してゐる。

〔2.2.2〕 亂流の概念

現在一般に認められてゐるところの見解に従へば乱流の主たる表徴は統計學的法則に支配されてゐる脈動で示されてゐる。流線に直角の方向への衝力傳達は唯分子間のみでなく、有限の大きさの流體部分である渦球に依つても行はれるもので、渦球は不規則に脈動する運動の横分力に依つて本質的な部分に衝力傳達を行ふ。之等の渦球は夫自身の存在を回轉してゐる部分の面積に負ふものであつて、他の渦球との衝突に依つて其の存在を失ひ、其處で更に新しい渦球が發生する。

亂流の斯る實體的觀察に到達する以前には乱流の其の點の程度を其の點に於ける全壓力即ち速度の大きさを以て表はす方法が試みられてゐた。之等に關しては Bazin が既に試みてゐるし、 Schoklitsch も行つてゐる。之等の技術者は其の點に於ける主流の速度に關する變動を其の夫々の方向に測られた速度を乱流に對し或る 1 つの大きさとして觀察したのである。此の方法は最初に Koženy に依つて公算法を用ひた式で表はされた。

$$\frac{(\omega - \bar{\omega})^2}{\bar{\omega}^2} = s_1 \quad \dots \dots \dots \dots \quad (17)$$

茲に ω は主方向の流速であり、 $\bar{\omega}$ は其の平均値を示す。

其の後 Krey は乱流の程度を長さの方向の變動ではなく、長さの方向の速度に關聯する横方向の變動を以て其の大きさを表はさうと試みた。其の大きさは

$$\frac{\mu^2}{\bar{\omega}^2} = s_2 \quad \dots \dots \dots \dots \quad (18)$$

で示された。茲に μ は横方向の速度である。

之等の提案は乱流の或る點に於ける其の程度を 1 つの數に依つて特徴づけると云ふことは充分可能であるかどうかと云ふことに就ては言及してゐないが、水路に利用する點から云へば有利である。任意の點に於て夫々の方向に得られた分力は其の點に於ける速度ベクトルで表はすことが出来る。之から任意の方

向 y に於ける平均値を \bar{v} とすれば、變動平均値は $(\frac{v - \bar{v}}{\bar{\omega}^2}) = s_y$ で表はされる。此の場合 v は y 方向の ω の分力である。併しながら之では s_y が y 方向に就て如何なる關係にあるかは分らない。夫れで此の場合 s_y は固體の慣性能率に類似してゐるものと考へ、直線ベクトル函數で表はし得るものと假定する。斯くすれば一般に任意の點では 3 個の主亂流方向を與へるものであつて、先に述べた Koženy の s_1 及び Krey の s_2 は夫々異なる 3 個の主亂流値の内の 2 つを示すものとなる。Koženy と Krey の乱流の大きさは相並んで置かれたものとなり、交互に其の點の乱流を表はすこととは出來ない。之は單獨の實驗に這入る前に多様な可能性を根本的に觀察し得たところに價値がある。

Prandtl は渦球の経路の本質的觀察を示唆して、之等の経路は曲線であり、主流線方向に直角に特に速い速度で描くものであつて、長さの方向には等速度で走るものと假定した。其の描くところの作用から知ることの出来る之等の脈動する方位流線は適當な直接方法に依つて見ることが出来る。Nikuradse は水の中に牛乳を入れて觀測し、之を確めてゐる。

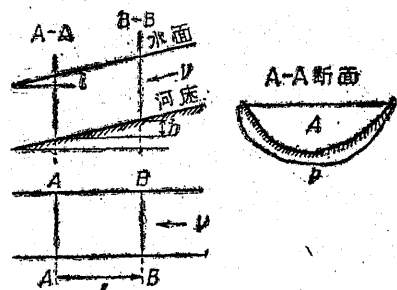
〔2.2.3〕 平均流速公式

等速定流の場合に就て考へる。流量 Q は一定であつて、流心に沿つて l なる距離にある 2 斷面の面積は等しく、勾配は一様であるとする。

l なる距離を流れるために消費せられる勢力は運動の抵抗に依つて直線的に變化するものと考へられるから、此の場合河床勾配は水面勾配と同一である。

今此の流れが定流で、流速が變化しないとすれば、此の l なる區間に 2 断面間に限られた水は之に作用す

圖-19.



る力と平衡状態にあると考へられる。此の流水に作用する力、即ち流動に伴ふ勢力消耗の大部分は水路周邊の摩擦抵抗のみに依るものと考へれば、潤滑長を ν 、周邊に於ける摩擦抵抗の平均値を τ_m 、断面積を A 、河床勾配を i とすれば

$$\rho l \tau_m = \gamma \cdot A \cdot l \cdot \sin i = \gamma \cdot A \cdot h$$

となる。又實驗の結果に依れば此の場合周邊の摩擦抵抗は次の如き形で表はし得られるから

$$\tau_m = \gamma \cdot V^2 \frac{\zeta}{2g}$$

茲に ζ は dimension のない値である。此の 2 つの關係から

$$V = \sqrt{\frac{2g}{\zeta} \cdot \sqrt{\frac{A}{p} \cdot \frac{h}{l}}} \quad \frac{h}{l} = \sin i$$

ζ を抵抗係数と云ふ。一般に此の場合自然河川に於ては i は極めて小さい値であるから普通 $\sin i \approx \tan i = I$ と置く。更に $\frac{A}{p} = R$, $\sqrt{\frac{2g}{\zeta}} = C$ と置くことに依り、 $I = \zeta \frac{V^2}{2gR}$ と書き換へることが出来る。1755 年 Chézy に依つて求められた平均流速公式は此の型をとるもので、現今吾々の用ひてゐる平均流速公式の根幹をなすものである。

$$\text{Chézy} \quad V = C \sqrt{RI} \quad \dots \dots \dots \quad (19)$$

茲に R を動水半径と云ひ、 C は \sqrt{g} の dimension を持つ係数である。此の型式を基本として Bazin, Kutter 以下多數の人々が其の實測値から實用になる様此の係数の値を探究したのである。

$$\text{Mises} \text{ に依ると } I = \zeta \frac{V^2}{2gR}$$

に於て ζ は dimension のない値であつて、断面の形（之は勿論水深の變動に依つても異なる値である）、Reynolds 数 $R = \frac{vR}{\nu}$ 及び此の場合の粗度 $\frac{\epsilon}{R}$ に關係する。 ν は流水の動粘性係数、 ϵ は抵抗係数である。一般に特別に断面形状の變らぬところでは $\zeta(R, \frac{\epsilon}{R})$ は實用的には等しいと見て差支へなく、

又普通自然河川に見られる様な水路周邊の粗度の高い場合には ζ は Reynolds 數に依る變化は僅かであり、斯る場合には ζ は單に $\frac{\epsilon}{R}$ の函數で表はし得られると云はれてゐる。

此の粗度に關しては實驗的には多くの値が與へられてゐるが、現在では Reynolds 數と之に關聯する粗度とに關係すると考へられるだけで、之以上深くは力學的には了解されてゐない。Eisner は水路周邊の粗度に依つて引起される抵抗は近似的には單位長當りの粗度 ϵ 又は $\frac{\epsilon}{R}$ に依つて表はし得ることを述べてゐる。

Gaukler, Manning, Winkel 等に依つて實驗的に誘導された平均流速公式に

$$V = AR^\alpha I^\beta$$

と指數公式と云はれる型式がある。Eisner は Mises の示唆に従つて α , β を適當に定めることに依つて之に適應する様常數 A の dimension を定めることが出来ることを認め、之等の間にある重要な關係を解決してゐる。

Lindquist は多くの實驗の結果から検討して、之等の理論に立脚した實驗公式として Manning の公式を推奨してゐる。

$$\text{Manning} \quad V = MR^{2/3} I^{1/2} \quad \dots \dots \dots \quad (20)$$

Manning の公式では $\zeta = \left(\frac{k'}{R} \right)^{1/2}$ と考へてゐることになる。

Strickler は其の實驗の範圍内に於て Manning 公式の M は $M = \frac{21.1}{\epsilon^{1/6}}$ で表はし得ることを述べてゐる。此の ϵ は水路断面の凹凸に關する値である。併し之には多少疑問の餘地もあるのであって、河床砂礫が張詰められた様になつてゐる場合又は其の混合狀態の如何に依り、類似の凹凸又は粒徑の場合にも相當異つた流況を示すことがある。Strickler の公式は併し今迄述べたところと異なる觀點に立つものであり、更に研究を要するであらう。

平均流速公式には又其の公式中から粗度に關する係數を取り除いたものがある。之は Siedek に始まるものであつて、Hermanek は更に之を發展せしめ

表-2. 1897年 Wien, Donau河に於ける測定流速

測定月日	測定水面勾配 I (%)	測定平均水深 H (m)	測定平均流速 V_m (m/sec)	Kudielka) に依る算定 Hermanek に依る算定 $V_{m,1}$ (m/sec)		Kutter ²⁾ に依る算定 平均流速 $V_{m,2}$ (m/sec)		Matakiewicz ³⁾ に依る算定 平均流速 $V_{m,3}$ (m/sec)		Manning ⁴⁾ に依る算定 平均流速 $V_{m,4}$ (m/sec)	
				Kudielka) に依る算定 平均流速 $V_{m,1}$ (m/sec)	Hermanek に依る算定 平均流速 $V_{m,2}$ (m/sec)	Kutter ²⁾ に依る算定 平均流速 $V_{m,2}$ (m/sec)	Matakiewicz ³⁾ に依る算定 平均流速 $V_{m,3}$ (m/sec)	Manning ⁴⁾ に依る算定 平均流速 $V_{m,4}$ (m/sec)			
10 XI	1897	0.439	2.46	1.59	1.83	1.39	1.52	1.40	1.46		
3 XII	"	0.452	2.84	1.67	1.72	1.50	1.64	1.48	1.55		
19 X	"	0.477	3.07	1.81	1.93	1.72	1.84	1.66	1.76		
30 IV	"	0.508	3.68	2.01	2.14	1.96	2.14	1.90	2.01		
1 V	"	0.518	3.76	2.14	2.20	2.06	2.21	1.98	2.11		
16 VII	"	0.551	4.52	2.44	2.43	2.47	2.57	2.27	2.46		
30 VI	"	0.557	4.76	2.51	2.49	2.53	2.67	2.35	2.55		
4 VII	"	0.561	4.91	2.51	2.53	2.63	2.73	2.38	2.62		
14 VIII	"	0.563	4.95	2.45	2.54	2.67	2.74	2.40	2.64		
28 VIII	"	0.576	5.34	2.52	2.61	2.84	2.88	2.53	2.81		
18 V	"	0.588	5.68	2.65	2.64	3.02	3.02	2.67	2.95		
7 VIII	"	0.592	5.91	2.46	2.67	3.13	3.09	2.73	3.04		
6 VIII	"	0.602	7.11	2.79	2.80	3.50	3.54	3.00	3.47		
5 VIII	"	0.590	8.08	2.89	2.95	3.74	—	3.20	3.75		
2 VIII	"	0.582	8.48	3.01	3.02	3.82	—	3.24	3.84		
3 VIII	"	0.580	8.68	2.97	3.04	3.85	—	3.27	3.88		

$$(1) C_2 = \frac{6}{(1 + f)^{3.5}} - 0.07 H \quad V_m = C_2 H I, \quad (2) n = 0.0261, \quad (3) n = 0.0281$$

表-3. 測定流速と計算流速との誤差比較表

測定流速 V_m (m/sec)	Kudielka $V_m - V_{m,1}$	Hermanek $V_m - V_{m,2}$	Kutter $V_m - V_{m,3}$	Matakiewicz $V_m - V_{m,4}$	Manning $V_m - V_{m,5}$
1.59	-0.04	+0.20	-0.07	+0.19	+0.13
1.67	-0.05	+0.17	+0.03	+0.19	+0.12
1.81	-0.12	+0.09	-0.03	+0.15	+0.05
2.01	-0.13	+0.02	-0.13	+0.11	0
2.14	-0.06	+0.06	-0.07	+0.16	+0.03
2.44	+0.01	-0.03	-0.13	+0.17	-0.02
2.51	+0.02	-0.07	-0.16	+0.18	-0.04
2.51	-0.02	-0.12	-0.22	+0.13	-0.11
2.45	-0.09	-0.22	-0.29	+0.05	-0.13
2.52	-0.09	-0.32	-0.36	-0.01	-0.29
2.85	+0.01	-0.37	-0.37	-0.02	-0.30
2.46	-0.21	-0.67	-0.63	-0.27	-0.58
2.79	-0.01	-0.71	-0.75	-0.21	-0.68
2.89	-0.06	-0.85	—	-0.31	-0.76
3.01	-0.01	-0.81	—	-0.23	-0.83
2.97	-0.07	-0.88	—	-0.30	-0.91

た。Kudielka も之等に關する公式を發表してゐる。之等の公式に於ては粗度に關する係數を取り除いた代りに水面幅、水位等で河川の形狀、大いさを區別し、其の間に適用せられる數値を與へてゐるのである。之は水路周邊の粗度に依る影響は周邊から隔る或る一定の區域に限られてゐるものであり、水路の内部に於ける勢力の消耗は之とは別途に水路の規模に左右されるとの考に基くものである。

以上簡単に平均流速公式に關し其の概況を述べて來たのであるが、現今一般に用ひられてゐる公式は $I = \frac{V^2}{2gR}$ を基本とし、實驗的に C_2 を周邊の粗度にのみ關聯するものとして誇張せられたものである。多くの實測値から河床の狀態を區分し、之に應する粗度係數を與へてゐる。併しながら實際の河川に於ては流水は水路周邊の粗度に依る摩擦抵抗に依り勢力を消費するのみでなく、

表-4 昭和2年鬼怒川新長瀬先に於ける測定流速

観測月日	測定水面勾配 I (%)	測定平均流速 V_m (m/sec)	測定平均水深 H (m)	Kudielka に依る算定 平均流速 $\bar{V}_{m,1}$ (m/sec)	Hermanek に依る算定 平均流速 $\bar{V}_{m,2}$ (m/sec)	Kutter に依る算定 平均流速 $\bar{V}_{m,3}$ (m/sec)	Matakie- wicz に依る算定 平均流速 $\bar{V}_{m,4}$ (m/sec)	Forchheimer に依る算定 平均流速 $\bar{V}_{m,5}$ (m/sec)	Winkel に依る算定 平均流速 $\bar{V}_{m,6}$ (m/sec)
8-1927	0.228	0.83	0.652	0.528	0.431	0.484	0.540	0.456	0.549
"	0.351	1.34	0.854	0.834	0.770	0.735	0.821	0.760	0.866
"	0.444	1.51	0.958	0.941	0.976	0.898	1.059	0.895	1.044
"	0.513	1.68	0.973	1.008	1.126	1.030	1.215	1.025	1.177
"	0.625	1.84	1.085	1.035	1.345	1.221	1.454	1.216	1.392
"	0.470	2.02	1.117	1.207	1.249	1.131	1.327	1.126	1.316
"	0.539	2.16	1.172	1.228	1.432	1.298	1.530	1.287	1.488

表-5 測定流速と計算流速との誤差比較表

測定平均流速 \bar{V}_m (m/sec)	Kudielka $\bar{V}_m - \bar{V}_{m,1}$	Hermanek $\bar{V}_m - \bar{V}_{m,2}$	Kutter $\bar{V}_m - \bar{V}_{m,3}$	Matakie- wicz $\bar{V}_m - \bar{V}_{m,4}$	Forchheimer $\bar{V}_m - \bar{V}_{m,5}$	Winkel $\bar{V}_m - \bar{V}_{m,6}$
0.652	+0.126	+0.221	+0.198	+0.112	+0.196	+0.103
0.854	+0.020	+0.084	+0.119	+0.053	+0.124	-0.012
0.958	+0.017	-0.018	+0.060	-0.101	-0.084	-0.046
0.973	-0.035	-0.153	-0.057	-0.242	-0.092	-0.204
1.085	+0.050	-0.268	-0.136	-0.349	-0.131	-0.307
1.117	-0.090	-0.132	-0.014	-0.250	-0.099	-0.199
1.172	-0.056	-0.260	-0.117	-0.358	-0.115	-0.316
計	0.894	1.126	0.701	1.425	0.891	1.227
平均	0.056	0.161	0.100	0.204	0.099	0.175

内部摩擦に依る勢力の消費も流速の如何に依つては相當量に達するものであつて、此の亂流の程度は流速に關聯するから或る考ふる地點に於ける勢力の消費は總ての水位の場合に之を單に水路周邊の粗度にのみ依らしめることは不合理であることを免がれない。著者は未だ數値的には流速の如何に依る亂流の程度を知ることは出來ないが、或る同一地點に於ける水位に依る流況の著しい差異は實際に當つて容易に知ることが出来る。此の點は Hermanek 等の様に水位に依つて粗度に起因する係數を區分することは之等の事實を考慮に入れる一つの方法とも考へられる。

今 Strickler の Donau 河での實測値及び著者が鬼怒川に於て實測した數値から各種の平均流速公式を比較して見ると表-2, 表-3, 表-4, 及び表-5の通りとなる。

此の場合 Donau 河に於ては平均水深 2.46 m より 8.68 m, 鬼怒川に於ては 0.93 m より 2.16 m に達してゐるもので、大體に於て其の中間に於ける水深のものを一例にとり各種公式の粗度係數を實測値から求め、之を用ひて他の水位の場合に就て公式に依り流速を計算し、實測値と比較したのである。此の結果に依ると其の河狀に就て流速公式の係數を求めた Kudielka 公式以外に於ては殆んど總て中間水位以下の場合には過少の値を與へ、以上の場合には過大な値を與へてゐる。之は粗度に依る係數のみでは解決出来ぬ問題のあることを示してゐるものと考へることが出来る。

河床の凹凸又は砂礫の粒徑に依つて粗度係數を表はさうと云ふ Strickler の試みも自然河川に於ては一つの新しい行方を示すものであつて、著者の試みた實驗水路に於ては上述の様に同一混合狀態の河床砂礫の場合にも砂礫の生じる間と砂礫の消滅してからの場合とでは Manning 公式の流速係數は殆んど 50% に近い差異を持つて居り、砂礫の大きさ等河床の凹凸の状態に依つて流速係數は異つた値を持つことが認められる。自然河川に於ても平均流速 0.50

m/sec 程度以下の場合には相當發達した砂渦を認め得られるから斯る場合と河床に大きな砂丘の如きものを作つて流れる高水位の場合との間には河床の状態の差異に依る影響も相當程度に含まれてゐるに違ひない。河床の状態が流況に及ぼす影響も此の場合考へねばならない。

著者は平均流速公式を考へる場合には水路周邊の粗度の異つた多くの例をとりあげる以上に同一地點に於て更に水位の異つた場合に就て詳細な観測を試みる必要のあることを認めてゐる。問題の要點は亂流の生成と之に依る勢力の消費である。此の事實は實際としては既存の平均流速公式では其の中のうち内に實測値から其の傾向は包含されてゐるが、吾々は此の事實を明らかにしなければならない。此の點に關し著者は次の如く考へたのである。

〔2.2.4〕 亂流の平均流速

今 Reynolds に従つて亂流の運動

を考へる。此の場合 図-20 に於て亂流中の1點 (x, y, z) の x, y, z 方向の流速 u, v, w の極めて短い時間 τ の間の平均流速は次の如くであると考へられる。

$$\left. \begin{aligned} \bar{u} &= \frac{1}{\tau} \int_{t-\frac{1}{2}\tau}^{t+\frac{1}{2}\tau} u dt \\ \bar{v} &= \frac{1}{\tau} \int_{t-\frac{1}{2}\tau}^{t+\frac{1}{2}\tau} v dt \\ \bar{w} &= \frac{1}{\tau} \int_{t-\frac{1}{2}\tau}^{t+\frac{1}{2}\tau} w dt \end{aligned} \right\} \quad (21)$$

失れ故に實際に見られるところの流速は次の通りとなる。

$$\left. \begin{aligned} u &= \bar{u} + u' \\ v &= \bar{v} + v' \\ w &= \bar{w} + w' \end{aligned} \right\} \quad (22)$$

此の u', v', w' は亂流運動に原因する分速度であつて、今此の文字の上に線を附したものと其の平均値とすると

$$\left. \begin{aligned} \bar{u}' &= 0 \\ \bar{v}' &= 0 \\ \bar{w}' &= 0 \end{aligned} \right\} \quad (23)$$

となる。

此處で Reynolds は Navier の運動の方程式を變形し次の式から出發したのである。

$$\rho \frac{\partial u}{\partial t} = \rho X + \frac{\partial}{\partial x} (p_{xx} - \rho uu) + \frac{\partial}{\partial y} (p_{xy} - \rho uv) + \frac{\partial}{\partial z} (p_{xz} - \rho uw) \quad (24)$$

此の場合 $\bar{u}, \bar{uu}', \bar{uv}', \bar{uw}' \dots$ の平均値は夫々 $\bar{u}, 0, 0, 0 \dots$ と考へられることから、尤も之は多少誤差を含むものであるが、此の u, v, w の夫々の平均値からの τ なる時間に於ける偏差は相當の數値にのぼるので斯く考へても差支へない。夫れで uu, uv, uw の平均値は次の通りとなる。

$$\left. \begin{aligned} \bar{uu} &= \bar{u}\bar{u} + \bar{u'}\bar{u}' \\ \bar{uv} &= \bar{u}\bar{v} + \bar{u'}\bar{v}' \\ \bar{uw} &= \bar{u}\bar{w} + \bar{u'}\bar{w}' \end{aligned} \right\} \quad (25)$$

此の關係から (24) 式の各項の平均値を求める

$$\rho \frac{\partial \bar{u}}{\partial t} = \rho X + \frac{\partial}{\partial x} (\bar{p}_{xx} - \rho \bar{u}\bar{u} - \rho \bar{u'}\bar{u}') + \frac{\partial}{\partial y} (\bar{p}_{yx} - \rho \bar{u}\bar{v} - \rho \bar{u'}\bar{v}') + \frac{\partial}{\partial z} (\bar{p}_{xz} - \rho \bar{u}\bar{w} - \rho \bar{u'}\bar{w}') \quad (26)$$

となり、此の場合の連続方程式は

$$\frac{\partial \bar{u}}{\partial x} + \frac{\partial \bar{v}}{\partial y} + \frac{\partial \bar{w}}{\partial z} = 0 \quad \dots \dots \dots (27)$$

となる。之が亂流の場合の平均運動の方程式であつて、之は(24)式と全く同じ形式をとり、更に應力分力を附加したものである。

Boussinesq に依れば亂流の場合流體内の流れに平行な單位面積に作用する抵抗力を表はすのに

$$p_{yz} = \varepsilon \frac{\partial u}{\partial y}, \quad p_{zz} = \varepsilon \frac{\partial u}{\partial z} \quad \dots \dots \dots (28)$$

茲に ε を亂流係数 (coefficient of turbulency) と云ふ。

今任意の形の水路内に於ける非壓縮性液體の運動は Navier-Stoke に従へば

$$\rho \frac{Du}{Dt} = \rho X - \frac{\partial p}{\partial x} + \mu \frac{\partial^2 u}{\partial x^2} + \frac{\partial p_{yz}}{\partial y} + \frac{\partial p_{zz}}{\partial z}$$

此の場合 $\mu \frac{\partial^2 u}{\partial x^2}$ は一般に極めて少ないので之を省略し、(28)式の關係を入れると

$$\rho \frac{Du}{Dt} = \rho X - \frac{\partial p}{\partial x} + \frac{\partial}{\partial y} \left(\varepsilon \frac{\partial u}{\partial y} \right) + \frac{\partial}{\partial z} \left(\varepsilon \frac{\partial u}{\partial z} \right) \quad \dots \dots \dots (29)$$

今此處で問題は開水路で極めて幅員の廣い場合を考へると

$$\rho X = \gamma I, \quad \frac{\partial p}{\partial x} = 0, \quad \frac{\partial}{\partial z} \left(\varepsilon \frac{\partial u}{\partial z} \right) = 0$$

更に流速は時間に關し變化せず慣性も小さいとすれば

$$\frac{Du}{Dt} = 0 \quad \therefore \quad \frac{\partial}{\partial z} \left(\varepsilon \frac{\partial u}{\partial z} \right) = -\gamma I \quad \dots \dots \dots (30)$$

此處で平均運動の方程式である(26)式に就て考へると、之を(24)式と比較することから(26)式中の $\rho \bar{u}' \bar{u}$, $\rho \bar{v}' \bar{v}$, $\rho \bar{w}' \bar{w}$ と云ふ項は亂流に原因することが判る。此の(24)式及び(26)式は小直六面體 $\delta x \cdot \delta y \cdot \delta z$ の區域内に含まれてゐる部分の運動量の變化する割合を表はしてゐる。亂流では不絶小時間内に運動量の變化が起つてゐるものであるから、此の瞬間的の變化は

$$\rho \bar{u}' \bar{u}' = \rho \bar{u}, \bar{u} - \rho \bar{u} \bar{u}$$

で表はされる。夫れ故に此の運動量の變化の平均は

$$\rho \bar{u}' \bar{u}' = \rho \bar{u}, \bar{u} - \rho \bar{u} \bar{u}$$

亂流係数 ε は此の平均變化の割合に比例して増減するものであるから

$$\frac{\bar{u}' \bar{u}'}{\bar{u} \bar{u}} = k \cdot \varepsilon \quad \dots \dots \dots (31)$$

と置くことが出来る。茲に k は比例常数である。

此の(31)式の左邊は小なる時間 τ の間の流速の變動する割合に關係するものであるから、今若し流速計を水中に x の方向に固定せしめ、之が流速の變動を極めて敏感に感受し得るものとすれば、 τ なる時間に於ける測定流速と之等の平均流速とから此の關係は求め得られる。即ち測定平均流速を V 、或る小時間の測定値と此の平均流速との差を ΔV とすれば(31)式から

$$\left(\frac{\Delta V}{V} \right)^2 = k \cdot \varepsilon \quad \dots \dots \dots (32)$$

今距離を S 、其の間を流れるに要する時間を t とすれば

$$V = \frac{S}{t} \quad \therefore \quad \left| \frac{dV}{V} \right| = \left| \frac{dt}{t} \right|$$

なる關係が得られる。J. Koženy は Donau 河に於ける流速計に依る實測値から以上の關係を確めたところ、大體に於て之が成立することを認めた。夫れ故に(32)式は

$$\left(\frac{dt}{t} \right)^2 = k \cdot \varepsilon \quad \dots \dots \dots (33)$$

として差支へない。茲に t は流速計のある僅かな回轉數に對する平均所要時間で、 dt は平均所要時間と夫々の所要時間との差である。

Donau 河での觀測の結果に依ると $\left(\frac{dt}{t} \right)^2$ と u との關係は大體に於て流速最大のところで $\left(\frac{dt}{t} \right)^2$ は最少となり、流速が減んすると共に $\left(\frac{dt}{t} \right)^2$ は増加してゐる。 $\left(\frac{dt}{t} \right)^2$ の流速に連れて變化する割合は大體に於て直線である

と見ることが出来るので、Kozeny は

$$\left(\frac{dt}{t}\right)^2 = \alpha - bu = k \cdot \varepsilon \\ \therefore \varepsilon = \alpha - \beta u \quad \dots \dots \dots \quad (34)$$

と云ふ関係式を與へた。

此處に於て (30) 及び (34) の兩式から

$$\frac{\partial}{\partial z} \left[(\alpha - \beta u) \frac{\partial u}{\partial z} \right] = -\gamma I \quad \dots \dots \dots \quad (35)$$

茲に z は水面からの深さを示す。之を積分して

$$\alpha u - \beta \frac{u^2}{2} = -\frac{\gamma I}{2} z^2 + c_1 z + c_2$$

c_1, c_2 は積分常数で限界條件で定められる。今 $z=h$ と置けば $u=u_r$ = 河底流速となるから

$$\alpha u_r - \beta \frac{u_r^2}{2} = -\frac{\gamma I}{2} h^2 + c_1 h + c_2$$

此の 2 つの式から c_2 を消去して

$$\beta \frac{u^2}{2} - \alpha u = \frac{\beta u_r^2}{2} - \alpha u_r - \frac{\gamma I}{2} (h^2 - z^2) + c_1 (h - z) \quad \dots \dots \dots \quad (36)$$

又 $(\alpha - \beta u) \frac{\partial u}{\partial z} = -\frac{\gamma I}{2} z + c_1$

から、最大流速の點に於ては $\frac{\partial u}{\partial z} = 0$ であるので、 z_1 を最大流速の位置とすれば

$$\gamma I z_1 = c_1$$

斯くすれば (36) 式から

$$u = \frac{\alpha}{\beta} \pm \sqrt{\left(u_r - \frac{\alpha}{\beta}\right)^2 - \frac{\gamma I}{\beta} (h^2 - z^2) + \frac{2\gamma I z_1}{\beta} (h - z)} \quad \dots \dots \dots \quad (37)$$

(37) 式に $z=h$ と置けば u は河床の流速を示す。此のためには右邊第 2 項の符號は正をとらねばならない。此の右邊第 2 項の平方根値は有限であるから、

之を展開して I^2 以上を含む低位の項を省略すると、(37) 式は

$$u = u_r + \frac{\gamma I a h^2}{\beta(u_r - \frac{\alpha}{\beta})} \left(1 - \frac{z}{h}\right) - \frac{\gamma I h^2}{2\beta(u_r - \frac{\alpha}{\beta})} \left(1 - \frac{z^2}{h^2}\right) \quad \dots \dots \dots \quad (38)$$

となる。此處に

$$z_1 = ah$$

と置く。

今 (38) 式を z に關し水面から河床迄積分し、深さで除すれば平均流速が求められる。即ち

$$u_m = \frac{1}{h} \int_0^h u dz = u_r + \frac{\gamma I a h^2}{\beta(u_r - \frac{\alpha}{\beta})} - \frac{\gamma I a h^2}{2\beta(u_r - \frac{\alpha}{\beta})} - \frac{\gamma I h^2}{2\beta(u_r - \frac{\alpha}{\beta})} + \frac{\gamma I h^2}{6\beta(u_r - \frac{\alpha}{\beta})} = u_r + \frac{\gamma I h^2(3\alpha - 2)}{6\beta(u_r - \frac{\alpha}{\beta})} \quad \dots \dots \dots \quad (39)$$

一般に流速の相當大なる時には

$$\left. \varepsilon \frac{\partial u}{\partial z} \right|_{z=h} = -Bu_r^2$$

と表はすことが出来る。茲に B は河床の粗度を示す係数である。(30) 式に此の關係を入れて $z=h$ の値を求める

$$u_r^2 = \frac{Ih}{B} \quad \dots \dots \dots \quad (40)$$

之を平均流速の式に代入して

$$u_m = \frac{\sqrt{Ih}}{\sqrt{B}} - \frac{r\sqrt{Ih}\sqrt{Ih \cdot h \cdot (2-3\alpha)}}{6\beta \left(\frac{\sqrt{Ih}}{\sqrt{B}} - \frac{\alpha}{\beta} \right)} = \sqrt{Ih} \left[\frac{1}{\sqrt{B}} + \frac{1}{6} \frac{(2-3\alpha)rh}{\alpha} \sqrt{Ih} + \frac{1}{6} \frac{(2-3\alpha)r \cdot h \cdot \beta Ih}{\alpha^2 \sqrt{B}} \dots \dots \dots \right] \quad \dots \dots \dots \quad (41)$$

茲に $\frac{1}{\sqrt{B}}$ は (40) 式から推定し得るが如く、Chézy 型平均流速公式の流速係数に相當するものであるから、一般に吾々の遭遇する様な場合では \sqrt{B}

の値は小数點以下2位程度のものであり、普通 $\sqrt{B} > I$ と見なし得る。又 α 及び β は其の性質上共に正の値をとり、 $\alpha > \beta$ と考へられるから、右邊第3次以下は前項に較べてより低位のものとなる。夫れ故水面勾配 I の比較的緩な場合には之を省略して

$$\begin{aligned} u_m &= \left[\frac{1}{\sqrt{B}} + \frac{1}{6} \frac{(2-3\alpha)\tau}{\alpha} I^{1/2} h^{3/2} \right] \sqrt{Ih} \\ &= (m + n I^{1/2} h^{3/2}) \sqrt{Ih} \end{aligned} \quad \dots \quad (42)$$

茲に $\frac{1}{\sqrt{B}} = m$, $\frac{1}{6} \frac{(2-3\alpha)\tau}{\alpha} = n$

之は水深に比し極めて水面幅の廣い場合の一垂直線上の平均流速を示す公式である。

〔2.2.5〕 河相と流速

(42) 式から考へると一垂直線上の平均流速は Chèzy 型平均流速公式と同一型をとり、其の流速係数は水路周邊の粗度、最大流速の位置、微小時間に流速の變動する割合に關係し、水面勾配の $1/2$ 乘、水深の $3/2$ 乗に従つて増加する。

(42) 式に従へば流速係数は最大流速の位置如何と云ふことにかなり支配される。最大流速の位置が水面から $2/3$ の所に在る場合には流速係数は常數となり、之より上に在る場合には水深の増加と共に漸増するが、低い時には却つて減少する。一般に水深の大きな場合には最大流速の位置は低いから流速係数の變化は浅い場合より小さいのである。 α は微小時間内の流速の變動する割合を示す或る常數であるが、之は一個の垂直線上に於て或る與へられた流速の場合に其の線上に於て微小時間内の流速の變動する割合の變化を示すものであり、之を確める十分な實測値のないのは遺憾であるが、大體に於て流速が大となるか又は一垂直線上に於ける流速の變化の大なき場合には相對的に du/dt の増加が推察せられる。斯く考へると亂流の程度の高い時には α は大となるから

水位に伴ふ流速係数の增加の割合は亂流の程度の低い場合に比してより低くなる。

水路の全断面の平均流速も亦大體に於て此の型式をとるものと考へられる。3項に述べた Donau 河及び鬼怒川の實測例に依れば流速係数は水深の大きな場合には寧ろ水深の増加に依つて其の減少する傾向が認められる。多くの流速公式に於て水深の大きな場合に過大な値を示してゐるのは此の間の事情に依るものと考へられる。著者の考へるところに依れば著しく事情の異なる多くの水路又は同一地點に於ても水位の低い場合と高い場合には流水の状態は相當に異なるものであるから、斯る場合に單一な流速公式で總ての場合を表はそうとすることは極めて困難であることが了解せられる。當然之等のものは水流の規模に従つて區別されねばならぬと考へる。

今 (38) 式に於て z_m を平均流速の位置とすれば

$$u_m = u_r + \frac{\tau I h^2}{\beta(u_r - \frac{\alpha}{\beta})} \left(a - \frac{1}{2} - \alpha \frac{z_m}{h} + \frac{z_m^2}{h} \right) \dots \quad (43)$$

又 (39) 式は之を書き換へて

$$u_m = u_r + \frac{\tau I h^2}{\beta(u_r - \frac{\alpha}{\beta})} \frac{3\alpha - 2}{6} \dots \quad (44)$$

(43) 及び (44) の兩式から

$$\begin{aligned} \frac{z_m^2}{h^2} - 2\alpha \frac{z_m}{h} + \alpha - \frac{2}{3} &= 0 \\ \therefore \frac{z_m}{h} &= \alpha \pm \sqrt{\alpha^2 - \alpha + \frac{1}{3}} \end{aligned} \quad \dots \quad (45)$$

之に依れば平均流速の位置は最大流速の位置に支配され

$$\alpha = 0 \text{ 卽ち最大流速水面に在る場合} \quad \frac{z_m}{h} = 0.57$$

$$\alpha = 0.1 \text{ " " 水面より } 0.1h \text{ に在る場合} \quad \frac{z_m}{h} = 0.59$$

$$\alpha=0.2 \text{ 即ち最大流速水面より } 0.2h \text{ に在る場合 } \frac{z_m}{h} = 0.61$$

$$\alpha=0.3 \quad " \quad " \quad 0.3h \quad " \quad \frac{z_m}{h} = 0.65$$

$$\alpha=0.4 \quad " \quad " \quad 0.4h \quad " \quad \frac{z_m}{h} = 0.71$$

之等の値に就ては F. S. Murphy は北米合衆國測地局の極めて多くの實測値から結論として次の如く述べてゐる。即ち比較的に水路は直線であり、規則正しい断面を持ち、河床も大體に於て平滑で 10 cm 以上の突起など殆んど認められぬ様な場合には

- (1) 水面から平均流速の位置迄の深さは水深の増加、水深と幅員との比の増加につれて大となり、一般に水深の 0.55 から 0.65 に變化する。
- (2) 比較的幅員廣く水深 0.1~0.3 m の淺い水路では河床が砂か又は細かい砂利の場合には平均流速の位置は 0.5 から 0.55 の點に在る。
- (3) 幅員廣く水深 0.3~1.0 m 程度の水路に於ては河床が砂利ならば平均流速の位置は水面から水深の 0.55~0.6 の點に在る。
- (4) 普通の水路で水深 0.3~2.0 m 程度のものでは平均流速の位置は水面から大體に於て 0.6 のところに在る。
- (5) 幅員 6~12 m 程度の小さな水路では平均流速の位置は同一深さの幅廣き水路の場合より尙水面から深いところに在る。
- (6) 河床の粗度が大きくなると平均流速の位置は昇り、深さの 0.6 の點の流速は平均流速より小となり、平滑になれば其の位置は下つて深さの 0.6 の點の流速は平均流速より大となる。

斯くの如く平均流速の位置は水路周邊の粗度、水路幅員と水深との關係に支配されることが大きいのであって、水路の規模、其の状態に著しく左右される。

此の事實は曩に著者が述べて來たところを十分に説明してゐる。自然河川に於ける流速の分布状態は河床粗度、之は河床構成砂礫の粒径或は其の混合状態

で説明出来るであらう。又は水路の規模に従つて區別せられ、流況に依つてかなりに支配せられるのである。

之を要するに巣上の亂流の問題の取扱いは極めて不十分ではあるが、河川處理又は水理模型實驗に當つては不可缺の問題であり、河相と流況の關係を明瞭ならしめることに依つて始めて之に適應した處置が講ぜられるのである。以上述べて來たところは此の點に或る示唆を與へるものと信する。

〔2.3〕 砂礫の移動

〔2.3.1〕 概 説

砂礫河川の河床の動きを注意深く觀察すると、大きな礫の周囲では渦が巻き立てられ、細い砂粒は上下左右に礫の廻りを回轉しつゝ流下するのが見受けられる。一般に礫の上手からは盛んに細かい砂粒が噴出せられ、之は一部吹き上げられたまゝ流れ去るが、一部は礫の下手に吸ひ込まれ、小さな躍動を續けながら次第に堆積する。此の運動が暫く續けられると礫は多少前方に傾き始めるが、斯くすると周囲の運動は急激に變化して、堆積せられた細粒は流れ去ると共に附近のより大きな砂礫も亦滑動を始め、或は轉動して流れ去る様になる。暫くして又或る一部は停止するが、其處には再び上述の現象が現はれて、之を繰り返しながら砂礫は流下して行く。流速が増大すれば此の現象は更に速になり、遂にはあたかも枯葉の堆積が風に吹き捲くられて、飛散つて行く様な状態が示されるのである。

初め完全な平面に均してあつた河床面は、水深の比較的浅い間は、水流の有する掃流力が所謂其の砂礫に特有な限界掃流力に達しないので、未だ不動の状態であるが、或る水深に達すると水の掃流力は限界掃流力に達し、水の有する勢力が砂礫の抵抗勢力に打勝つて河床砂礫を移動せしめる様になる。著者の試験水路での觀測に依ると比較的細粒の多い試験用砂では河床と水流の平衡の破

れた瞬間から河床表面に砂漣を生じ、初めの内は砂漣の高さも1mm位のものであるが、水深の増加するに伴ひ、益々此の砂漣は發達、移動して頂と谷との差高は大となる。更に粗粒の多い材料では或る水深に達すると一旦生じた砂漣は此處で消滅し、簾で掃き均らされた如く再び平滑となり、やがて波長1mにも近い大きな而も高さの低い砂礫の押寄を生ずる様になつた。又比較的粗粒の多いものでは此の場合砂漣を生ずることなく、初めの内は河床面の稍平滑な儘、表面の粒子が移動するが間もなく前と同様な砂の押寄を生じた。

著者は富士川筋静岡縣庵原郡松野村及び山梨縣南巨摩郡飯澤町地先で河床を横断して大體16~20m間隔に木片或はコンクリート塊を20m毎に1.0~1.5mの深さに埋設し、出水期を経て之を検出し、河床の移動深を測定したが、昭和10年9月の大田水（松野村地先に於ては計画高水流量の約70%，飯澤町地先に於ては約90%の高水流量を見てゐる）後の結果は図-21及び図-22に示す通りであつて、此の場合松野村地先に於ては最大水深8.5mに對し最大移動深さ約20mに達し、又飯澤町地先に於ては最大水深8.5mに對し最大移動深さ同様約20mにな

つてゐた、出水に際し河床の移動してゐることは多くの報告に見られるところであつて、利根川筋川俣地先（勾配約0.0004）の一例では最大水深約3.5mに對し最高1.5m迄洗掘せられてゐたと云

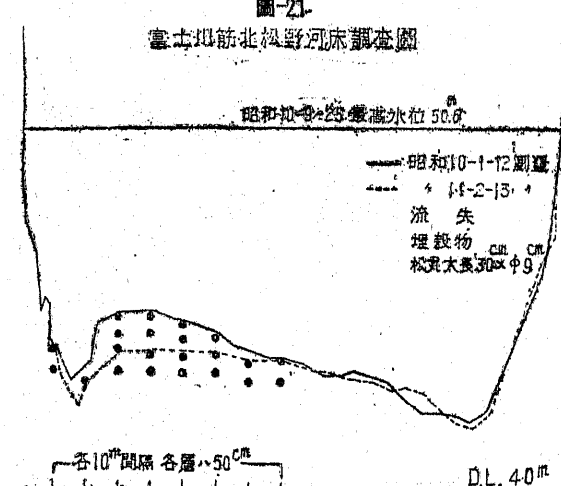


図-21

富士川筋北松野河床調査図

はれてゐる。

河床砂礫は斯くの如く流水の掃流作用に依つて相當程度の深さ迄移動してゐることは明らかであつて、之に關しては P. du Boys 或は F. Kreuter 等に依れば河床面に平行に並んだ砂礫の層が假想せられ、之等が流水の掃流作用に依つて順次上部の層からとり出し、

其の速さの差は並んでゐる層の間では互に等しいものと考へられ、圖-23の如く河床面に直角な層を河床中に想像すれば、夫れは河床の深さの或るところで“く”の字型に折れ曲るが如くに考へられた。

河床の移動してゐることは前述の通りであり、尙 Rhein 河では砂礫の移動は3m以上の深さに迄及んでゐることが測定されてゐるし、Mississippi 河の河床は St. Louis 橋では少くとも1mの深さ迄は移動してゐることが報告されてゐる。斯く考へると河床は du Boys の云ふが如くに動いてゐるものとも考へられるが、併し砂礫粒間の摩擦抵抗は非常に大きなものであり、河床上を流れる水の運動が河床下斯く迄深く及んでゐるとは思はれぬ。A. Schocklitsch の観測の結果に依ると之は12.5cm幅の試験水路に縦に着色した砂の層を設け、運動状態を観測したのであるが、此の場合層は上方は破壊されてゐたが、下方の部分は垂直の壁残つてゐた。著者の観測の場合にも河床は層になつて流れるのではなく、上部にあるものから流れ去つて次第に運動は深い層に達するもの

図-22.

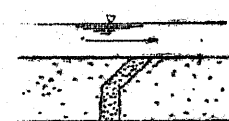
富士川筋北松野河床調査図

H.W.L. 244.59

昭和10-9-25 豊高水位 50.0



図-23.



であることが認められた。砂礫粒は渦の発生に依るか又は流水に直射せられて捲き上げられ、其の結果押し流されるのであって、之が其の程度に応じて相當の深さに迄達するものと考へられる。

斯くの如くにして流送される砂礫は更に砂洲の形をとつて流下するものであり、砂洲の移動を見ると、之は其の上流側では緩勾配をとるが、下流側では急勾配、大體に於て水中に於ける砂礫の安息角に近い値をとつてゐる。上流側の緩勾配を轉動する砂礫は砂洲の頭部に至つて、其の下流側に起る水平軸を持つ渦に依つて壓へられ次第に堆積し、此の量が増して下流側の勾配が漸時急になると最早之を保持することが困難となり、崩れ落ちて頭部を低め、砂洲として前進する。此の場合砂洲の移動に依つて深みを生じたものが、更に其の前進に依つて砂礫の堆積を見、之が見掛けの砂礫の移動深さとして観測されることがある。

河川の彎曲部には著しい河床の洗掘作用が見られるが、之は此の部分に於ける偏流に依る河床附近の著しい渦に起因するものであつて、整状なる區域に於ける洗掘とは多少原因を異にする。

〔2.3.2〕試験水路に於ける砂礫移動状態の観測

1. 4. 3 に述べた著者の試験水路に於て觀測された砂礫移動状態を次に詳述する。

(1) A種試験用砂

A種試験用砂は河床勾配 $1/400, 1/600, 1/1000, 1/2000, 1/5000, 1/10000$ の6種に於て試験を行つたのであるが、勾配の急になるに連れて河床の平衡の破れる水準は小となり、其の後の状態も相對的に漸變してゐるに過ぎないので、此の一例として $1/2000$ の場合に就て述べる。本試験では既に述べた様に河床勾配と水面勾配とは常に之を平行に保ちつゝ水深を増加せしめた。

圖-24は水深と流速との関係を示す。 O から S に至る迄は河床の砂粒は全く

不動であつて、流水は最初の水深 1.14 cm から渦流であった。水深を漸時増加して點 S になると漸く砂粒は微動を開始し、水路面全般に亘つて處々少しづつ極く低い砂漣を生じ始めた。一度砂漣を生ずると水流は刻々と部分的に不整となり、砂漣の直下流部には渦動を生じ、又砂漣の頂を越えた水は砂漣の谷に衝突して處々谷を深く掘り、掘られた砂粒は一部は次の砂漣の方に又一部は前の砂漣直下流の渦動の中に捲き込まれて掃き流される。此の場合の水流は大體圖-25の如くである。

砂漣を生じ始めてから圖-25の如き完全な砂漣に發達する迄は砂漣の發達に伴ひ急激に水流への抵抗が増加するために流量を一定として置いても水深は刻々増加し、水面及び水面勾配の動搖が甚しい。之は圖-24に於ける S から T 迄の區間に相當する。點 T に至つて砂漣が充分に發達し切ると水面の動搖は稍々静まり、砂粒の動きも比較的になくなる。此の後は漸時砂礫が下流に移動するのみで水流は稍々安定の状態となる。

圖-24.

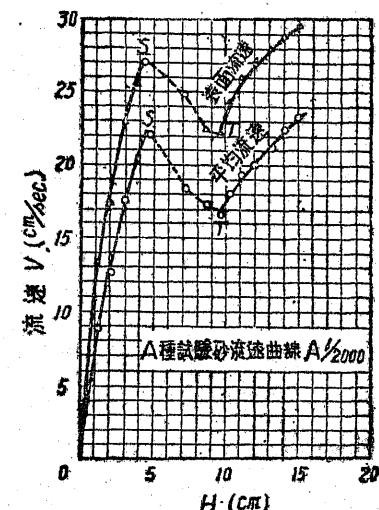
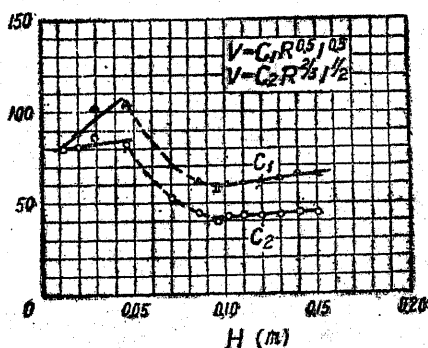


圖-25.



圖-26.



ST の区間に於ては砂渾が發達の途次に在るので、砂粒の移動も極めて著しく、水深がどんどん變化するため、河床勾配と水面勾配とを平行に保つことは殆んど不可能であつたが、T に於て砂渾發達の終結するや再び上記兩勾配を平行に保ち、水深を増加せしめることが出來た。

此の場合の Chézy 公式の流速係数 c_1 及び Manning 公式の c_2 とは各水深に就て計算すれば図-26 の如くである。之に依れば河床に砂渾の生じない内は平均の流速係数は Manning 公式に依つて $c_2 = 82$ であり、 $c_2 \frac{1}{n}$ として Kutter 公式の粗度係数 n に換算してみれば $n = 0.012$ となり、モルタル面と同程度である。然るに砂渾の生ずるに及んで水流は著しく阻害され、 $c_2 = 42$ 位となる。之を前同様 Kutter 公式の n に換算すると $n = 0.024$ となり、自然河川の夫れに餘程近づいてゐる。此の實驗に使用した水路はガラス張りであり、河床のもつ粗度との間に差異があるので、此の側面の影響を除いて河床のみの有效粗度を考へると次の如くである。図-27.

図-27.

於て矩形水路の底幅を B とし、水深を H とする。
 又河床の粗度係数を n_b とし、側壁の粗度係数を n_s 。
 潤邊の粗度を一様なものと考へた時の粗度係数即ち
 等値粗度係数を n_e とすれば、之は各々異なる粗度係数を持つ夫々の潤邊を輕重率として計算される。

今流速公式として指數公式を用ひ

$$v = \frac{1}{n} R^{\alpha} I^{\beta}$$

とすれば

n_e = 等値粗度係数

$$= \left[\frac{H n_b^{\frac{1}{\alpha}} + B n_s^{\frac{1}{\alpha}} + H n_e^{\frac{1}{\alpha}}}{2H + B} \right]^{\alpha}$$

$$= \frac{H n_e + B n_s + H n_b}{2H + B}$$

故に

$$n_b = n_e + \frac{2H}{B} (n_e - n_b) \quad (46)$$

之に依つて勾配 1/2000 に對する河床の粗度係数 n_b を計算すると次の如くなる。但し側壁はガラスであるので $n_s = 0.011$ とした。

之に依れば n_b と n_e とは水深の小なる間は殆んど差がないが、大となると相當の差を生じ、最大差 0.0034 に達してゐる。又此の計算に依つては側壁の影響が除かれるので、水深の變化に對し n_b -曲線が略々一定となつて來てゐる。

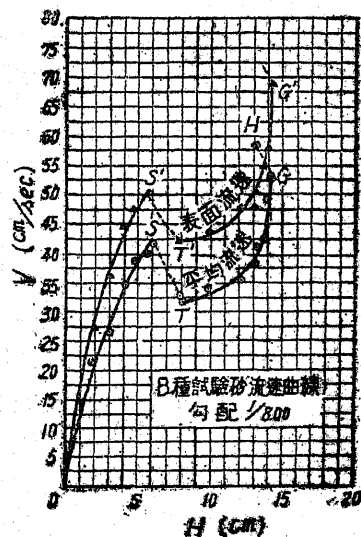
(2) B種試験用砂

B 種試験用砂に就ては勾配を 1/300, 1/400, 1/600, 1/800, 1/1000 及び 1/2000 の 6 種として試験を行つたのであるが、此の場合代表として 1/800 の場合に就て説明する。

図-28.

此の場合の流速曲線は図-28 の如く、大體に於て A 種試験用砂に於ける結果と略々相似なものを得たが、此の兩者に於て異なるところは圖中點 T 以下に在り、又 G なる特殊の點の現はれたことである。

先づ水面勾配を河床勾配に並行に保ち、水深を増加していくと、點 S 近は前の場合と同様に河床砂礫は全然靜止の状態に在つて、従つて觀測も可成り正確であり、夫れに依つて得られた平均流速曲線は図-28 の如く上に凸である拋物線をしてゐる。併し S に相當する水深（約



6 cm)になると、水の持つ勢力は砂礫の摩擦抵抗又は回転抵抗の勢力に打勝つて、先づ細粒から砂礫を移動せしめることになる。此の試験用砂では後述のC種試験用砂に比して細粒が比較的多いので、點S附近では先づ細粒が動き出し、之は初めの中は轉動に近い浮遊運動をするが段々と時間の経つに連れて激しい浮遊運動となる。細粒が十分に浮遊運搬されると中粒以上の粒子が直接水流に曝される様になり、遂に中粒子を其の底部に支へるものもなくなつて轉動し始める。此の状態で此の場合は最大粒径 2.5 mm のものまで動かされた。斯くて先づ河床に小さい不陸を生ずると細粒子は浮遊の状態で運ばれるに反し、中粒以上のものは轉動しつゝ不陸の頂上を越え、谷に至つて沈没してしまう。斯くて其の不陸は段々高さを増し、立派な砂漣となつて漸時轉動しつゝ発達する。

此の時の水流は図-29に見る如く、
砂漣の背面を這ひ上り、次第に速度
を増加して頂上Aを乗り越す頃にな
つては流速は最高に達する。之がB

Oなる谷に勢よく落込むと、此の落込んだ水流は一部はOCの方へ向きを換へて流れ、一部はOBの方に逆向に流れて茲に水平軸を持つ渦となる。此の渦は益々谷を掘り返して深くなり、其のために水中に浮んだ砂粒は上部水流のために直ちにCの方に運ばれてしまふ。頂上に運ばれて來た砂粒は細粒のものは浮遊の状態に在るため引續き水流に依つて運搬されるが、中粒以上のものは浮遊しがたいため砂漣の頂上から谷に向つて轉落する。夫れ故ABなる傾斜面は砂礫粒の安息角に等しいものとなり、其の谷及び山の基部に比較的粗な粒子が集り、山の表面には比較的小さい粒子が集積せられる。図-29の(a)ではAB面と水流の落下衝突に依り生ずる渦流の掘る穴の面とは連續につながつてゐるが、中には(b)の如く兩者の面が別々になつて居り、Dなる段についてゐ

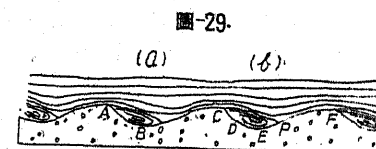


図-29.

る場合も尠くない。

Sに於て砂漣が出来始めてからは、其の時の流量又は水深に適合する高さ及び長さの砂漣に發達しやうとする傾向があるために河床の移動甚しく、從つて河床の抵抗が著しく變化するために水深が急に増加し、水面の動搖激しく、流量を其の儘に保持して置いても時間的に水

深に變化を來すため觀測は極めて困難となる。通常は斯る水深Sになると流量を其の儘に保つて砂漣の發達を作り、或る平衡状態Tとなる迄水面勾配を一定に保たせつゝ水路は流れるに委す事としたが、試みに此のS-T間に於ける状態を詳しく知るために勾配 1/1000 の場合に就て時間的に水流の變化を觀測して見たところ、図-30

の如くであ

つた。此の際流量をSに於ける儘に保ち、水路末端の水位調節堰で水面勾配を

1/1000に保つたのであるが、之に依ると途

圖-30.

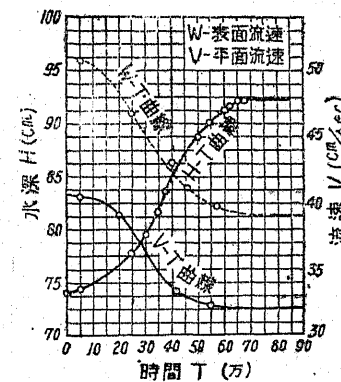


圖-31.

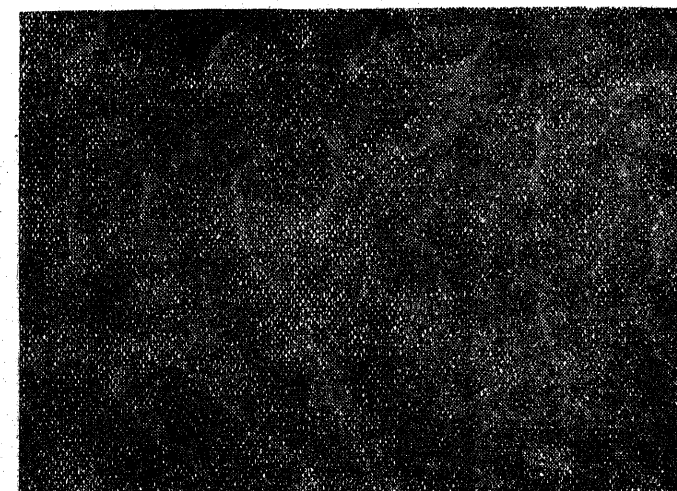


表-6. 粗度俓表

H	C_2	n_e	n_s	$\frac{2H}{B}(n_e - n_s)$	n_h
1.14	79.76	0.0125	0.0110	0.0000	0.0125
1.95	80.14	0.0125	"	0.0001	0.0126
2.91	86.32	0.0116	"	0.0000	0.0116
4.60	82.00	0.0122	"	0.0001	0.0123
7.13	52.38	0.0191	"	0.0012	0.0203
8.55	44.31	0.0226	"	0.0020	0.0246
9.60	40.76	0.0249	"	0.0027	0.0276
10.19	42.10	0.0238	"	0.0026	0.0264
11.01	42.82	0.0234	/	0.0027	0.0261
12.02	42.51	0.0236	"	1.0030	0.0266
13.10	43.06	0.0232	"	0.0032	0.0264
13.98	44.12	0.0227	"	0.0033	0.0260
13.05	43.93	0.0228	"	0.0035	0.0260

中の観測日数及び個々の観測に要した時間にも依るが大體に於て砂漣の出来始めから1時間内外で落着いてゐる。

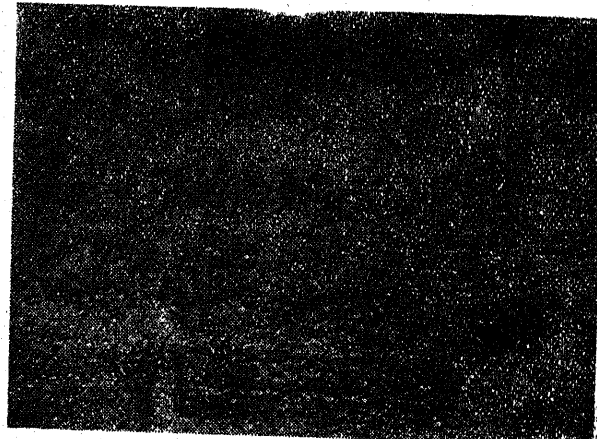
斯くして十分に發達した砂漣は図-31に示す如くであつて、之から粗粒及び細粒の分布状態を

図-32.

大體に於て窺ふこと

とが出来る。

Tに相當する水流(此處では約8cm)から暫くの間は——此の場合は水深12.5cm位迄——河床の砂漣は絶えず移動しつゝ



も稍平衡の状態に在るが、其の後水深の増加するに伴ひ徐々に砂の移動は激しさを増し、砂礫粒の抵抗の勢力よりも水流の勢力の方が勝つて來るため流速は加速度的に速くなり——從つて此の時の流速曲線は上方に向つて凹となる——

Gに至つて其の極に達し、砂漣の山は水流のため崩れ始め、Hになつて遂に河床面は恰も筆で掃いたかの如くに平滑となる。此の時の状態は図-32の如く、砂礫粒は枯葉の堆積が風に吹き飛ばされるが如くであつて、比較的大粒のものは目まぐるしく河床を轉動し去る。

GからHへの變化の際には水流の變動激しく、之は丁度前述のSからTへの變化の逆とも考へられる。

河床の變化の著しいために水深並に水面の變動著しく、觀測困難なために前のS-Tの場合と同様河床從つて水面に落着きを見る迄流量はGに於ける儘とし、水位調節堰に依つて常に水面勾配を出来るだけ規定の勾配に保たしめた。從つて流速曲線を描けば點Hで水深が減り而して流速が増してゐるのである。此の後は砂粒の動きは、砂漣の代りに著しく波長(波長と呼び得れば)の長い洲の状態で海岸下流に移動する。之は図-33の如く非常に平坦なもので、洲の上面を轉動した粒子は洲の終つた所で崩れ落ち、水中の安息面を形作る。圖中A-Bの間隔は大體に於て規則的になつて居り、勾配及び材料に依つて異なるのは當然であるが、凡そ50~130cm位であつた。

Manning公式のCを調べると、図-28の流速曲線からも推察される様に水深S以下の場合とT以上の場合とでは大なる相異を生じてゐる。Cと水深Hとの関係を示すと図-34の如く、A-S間は河床の靜止状

圖-33.

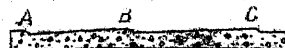
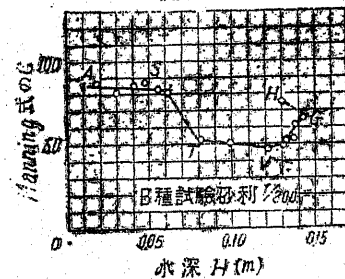


圖-34.

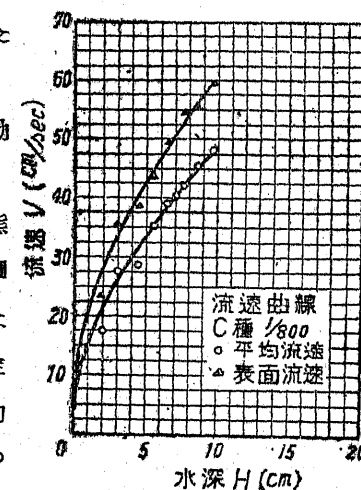


態に在る區間に相當し、 C の値は略々一定して居り、平均約 84 であつてモルタル面位の抵抗しかない。S に於て砂漣が生じ始めると河床の抵抗は俄然増加して砂漣の發達し終る頃には $C=52$ 位迄となつた。T から V 迄は C 曲線は水深に對し稍々一定な直線となり、V に至つて又急に C が増加してゐる。之に依つて T から V 迄の間は水深を徐々に増加して行つても發達し終へた砂漣は稍々平衡の狀態に在るものと考へられる。然るに水深 V の附近から砂粒の抵抗力が水流の掃流力に負け始め、河床近くの水流は掘んだ砂を其の儘に容易く浮遊状態で持ち去る傾向を示し、從つて水流全體として砂漣の凹凸に影響されることが少くなる傾向を示してゐる。G に至つて此の傾向が十分大となれば最早や砂漣は其の山を持ち株へてゐることが困難となり遂に崩れ始める。此の潰れ終つた點が H である。

(3) C 種試験用砂

C 種試験用砂の場合は河床勾配を 1/300, 1/600, 1/800, 1/1000 及び 1/2000 の 5 種類として試験を行つた。此の種の如き混合割合の砂礫の實在は極めて稀であらうが、篩分曲線の曲率の小さい混

圖-35.



合割合のものゝ極限として試験を行つたのである。

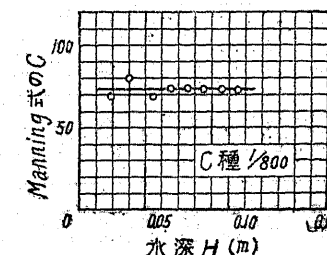
河床勾配 1/800 の場合に就て其の移動状態を述べれば次の如くである。

此の場合は砂粒の掃流運搬される状態は前の場合とは全く異り、流速曲線は圖-35 に示す如く、普通の平滑な曲線となつたのである。實験をする前に鏡で所定の勾配 1/800 に均し、水面勾配を河床勾配に平行に保ちながら水深を増して行つ

たのであるが、混合割合に粗粒が多いので河床は動きにくく、B 種の場合には水深 5.5 cm 位から細粒が動き出したのに反し、C 種の場合には 6 cm を越えても尚動かず、6.5 cm から徐々に細粒の動くのを見た。観測中次第に細粒の移動が目立つて來たが、次の観測水深 7.54 cm の時には最早や大粒のものも運動を始めて居り、其の後水深の増加するに連れて、只細粗粒の運動の入交るのみで B 種の場合の如き砂漣は起きないでしまつた。

河床の砂の動かされた際は砂漣が出來ないために初めから B 種の場合の砂漣の掃き潰された後の状態と殆んど一致してゐる。

圖-36.



此の場合河床の移動状態は從つて流速曲線に於ても急激な變化がなく、孰れの水深から河床が動き出したかを判断するのに多少困難を感じる程であつた。

Manning 公式の C 曲線も圖-36 に示す如く概ね水平な直線となり、凡そ $C = 75$ となつてゐた。

[2.3.3] 河床の移動と流況

前小節に於て 3 種類の試験用砂に就き砂礫の移動状況を説明したが、本試験に於ける各種試験用砂の各勾配に就ての観測表を示すと次の通りである。

(1) A 種試驗用帶

(1) 勾配 1/600C (表-7 A 種-1/600)

表-7. A 種-1/600

觀測 番號	水深 $H(cm)$	堰水頭 $A(cm)$	流量 $Q(cm^3/sec)$	斷面積 $A(cm^2)$	平均流速 $V(cm/sec)$	表面流速 $W(cm/sec)$	潤邊 $S(cm)$	徑深 $R(cm)$	流速係數 C	等值組 度係數 N_e	備 考
1	1.10	1.17	2 280	110	20.8	24.7	102.20	1.08	104.59	0.0096	移動開始 砂連接達終了
2	2.00	1.27	2 589	200	12.9	15.9	104.00	1.92	44.18	0.0221	
3	3.02	1.94	4 888	302	16.2	20.7	106.04	2.85	42.52	0.0235	
4	4.20	2.56	7 410	420	17.6	24.4	108.40	3.87	37.76	0.0264	
5	5.25	3.43	11 493	525	11.9	28.2	110.50	4.75	40.88	0.0245	
6	6.20	4.02	14 582	620	23.5	30.8	113.40	5.52	39.76	0.0252	
7	7.22	4.72	18 552	722	25.7	35.2	114.44	6.31	39.71	0.0252	
8	8.30	5.44	22 955	830	27.7	36.4	116.60	7.12	39.44	0.0253	
9	9.10	5.98	26 457	910	29.1	39.2	118.20	7.70	40.58	0.0246	
10	10.08	6.70	31 376	1 008	31.1	42.0	120.16	8.39	39.79	0.0251	
11	11.16	7.46	36 863	1 116	33.0	44.0	122.32	9.12	39.92	0.0250	
12	12.00	8.05	41 322	1 100	34.4	45.6	124.00	9.68	40.02	0.0250	

(2) 勾配 1/1 000 (表-8 A 種-1/1 000)

表-8. A 種-1/1 000

觀測 番號	水深 $H(cm)$	堰水頭 $A(cm)$	流量 $Q(cm^3/sec)$	斷面積 $A(cm^2)$	平均流速 $V(cm/sec)$	表面流速 $W(cm/sec)$	潤邊 $S(cm)$	徑深 $R(cm)$	流速係數 C	等值組 度係數 N_e	備 考
1	0.84	0.72	1 105	84	13.2	16.7	101.68	0.85	101.82	0.0098	
2	1.49	1.30	2 682	149	18.0	25.0	102.98	1.45	95.85	0.0104	
3	2.00	1.77	4 260	200	21.5	27.3	104.00	1.92	93.85	0.0107	移動開始
4	3.40	1.88	4 664	340	13.7	19.9	106.80	3.18	43.18	0.0232	砂連接達終了
5	4.37	2.49	7 109	437	16.3	22.4	108.74	4.02	43.84	0.0228	
6	5.37	2.98	9 307	537	17.3	24.6	110.74	4.85	41.22	0.0243	
7	6.31	3.53	11 999	631	19.0	26.2	112.62	5.80	41.07	0.0243	
8	7.25	3.94	14 149	723	19.8	27.3	114.46	6.32	39.02	0.0256	
9	8.02	4.49	17 213	802	21.5	29.4	116.04	8.91	40.30	0.0248	
10	9.10	5.20	21 453	910	23.6	33.3	118.20	7.70	41.18	0.0243	
11	10.15	5.84	26 535	1 016	25.2	34.0	120.30	8.44	41.35	0.0242	
12	11.05	6.54	30 259	1 105	27.4	36.6	122.10	9.05	42.96	0.0233	
13	12.00	7.06	33 933	1 200	28.3	38.6	124.00	9.68	42.43	0.0236	
14	13.19	7.88	40 020	1 319	30.3	40.8	126.38	10.44	43.28	0.0231	

表-9. A 種—1/2 000

観測番號	水深 $H(cm)$	堰水頭 $k(cm)$	流量 $Q(cm^3/sec)$	断面積 $A(cm^2)$	平均流速 $V(cm/sec)$	表面流速 $W(cm/sec)$	渦滲 $S(cm)$	徑深 $R(cm)$	流速係数 C	等価粗底係数 N_e	備考
1	1.14	0.68	1 016	114	8.9	13.5	102.28	1.11	79.76	0.0123	
2	1.95	1.23	2 468	185	12.7	17.3	103.90	1.88	80.14	0.0125	
3	2.91	2.00	5 117	291	17.8	22.9	105.82	2.76	86.32	0.0120	
4	4.60	3.17	10 211	460	22.2	27.1	109.20	4.21	82.00	0.0122	移動開始
5	7.13	3.75	13 138	715	18.4	24.8	114.26	6.24	52.35	0.0191	
6	8.55	4.06	14 800	855	17.3	22.4	117.10	7.30	44.31	0.0226	
7	9.60	4.28	16 076	980	16.7	22.2	119.20	8.05	40.16	0.0248	砂連続終了
8	10.19	4.71	18 493	1 019	18.1	24.3	120.38	8.46	42.10	0.0233	
9	11.01	5.16	21 208	1 101	19.3	25.9	122.02	9.02	42.82	0.0234	
10	12.02	5.62	24 104	1 202	20.1	27.1	124.04	9.69	42.61	0.0235	
11	13.10	6.19	27 883	1 310	21.3	27.9	128.20	10.58	43.06	0.0232	
12	13.98	6.72	31 517	1 398	22.5	28.8	127.96	10.93	44.12	0.0227	
13	15.08	7.21	35 028	1 503	23.3	29.5	130.06	11.56	45.93	0.0228	

(iv) 勾配 1/5 000 (表-10)

表-10. A 種—1/5 000

観測番號	水深 $H(cm)$	堰水頭 $k(cm)$	流量 $Q(cm^3/sec)$	断面積 $A(cm^2)$	平均流速 $V(cm/sec)$	表面流速 $W(cm/sec)$	渦滲 $S(cm)$	徑深 $R(cm)$	流速係数 C	等価粗底係数 N_e	備考
1	1.17	0.64	718	117	6.1	9.6	102.34	1.14	85.50	0.0117	移動開始
2	3.03	1.36	2 869	303	9.5	12.7	106.06	2.86	71.65	0.0140	
3	4.98	2.37	6 601	498	13.3	17.0	109.96	4.53	73.77	0.0136	
4	7.11	3.76	13 191	711	18.6	22.7	114.22	6.22	83.52	0.0120	
5	9.02	4.76	18 670	902	20.7	23.6	118.04	7.64	81.28	0.0123	
6	11.01	5.60	23 976	1 101	21.8	25.6	122.02	9.02	76.54	0.0131	
7	12.92	6.45	29 636	1 292	22.9	26.3	125.84	10.27	73.97	0.0135	
8	14.81	7.43	36 641	1 481	24.7	27.0	129.62	11.43	74.30	0.0134	

(v) 勾配 1/10000 (表-11)

表-11. A 種-1/10000

觀測番號	水深 $H(cm)$	堰水頭 $h(cm)$	流量 $Q(cm^3/sec)$	斷面積 $A(cm^2)$	平均流速 $V(cm/sec)$		表面流速 $W(cm/sec)$	潤邊 $S(cm)$	徑深 $R(cm)$	流速係數 C	等值粗度係數 N_e	備考
					表面流速 $W(cm/sec)$	平均流速 $V(cm/sec)$						
1	1.22	0.55	740	122	6.1	7.0	102.44	1.19	116.01	0.0086	移動開始判明せ	
2	2.26	0.91	1570	226	7.0	9.2	104.52	2.16	111.08	0.0090		
3	3.34	1.34	2810	334	8.4	10.8	106.68	3.13	84.68	0.0118		
4	4.30	1.94	4890	430	11.4	11.9	108.60	3.96	97.87	0.0102		
5	5.11	2.14	5660	511	11.1	13.7	110.22	4.64	85.89	0.0116		
6	5.93	2.64	7761	593	13.1	16.2	111.86	5.30	92.74	0.0108		
7	7.39	3.33	10994	739	14.9	18.1	114.78	6.44	92.62	0.0103		
8	8.20	3.67	12720	820	15.5	18.7	116.40	7.04	90.94	0.0110		
9	9.19	4.07	14855	919	16.2	19.2	118.38	7.70	88.85	0.0113		
10	10.02	4.28	16020	1002	16.0	19.3	120.04	8.35	85.71	0.0119		
11	11.12	4.68	18317	1112	16.5	19.4	122.24	9.10	81.44	0.0122		
12	13.01	5.64	24233	1301	18.6	20.6	126.02	10.32	84.64	0.0118		

(2) B 種試驗用砂

(1) 勾配 1/300 (表-12 B 種-1/300)

表-12. B 種-1/300

觀測番號	水深 $H(cm)$	堰水頭 $h(cm)$	流量 $Q(cm^3/sec)$	斷面積 $A(cm^2)$	平均流速 $V(cm/sec)$		表面流速 $W(cm/sec)$	潤邊 $S(cm)$	徑深 $R(cm)$	流速係數 C	等值粗度係數 N_e	備考
					表面流速 $W(cm/sec)$	平均流速 $V(cm/sec)$						
1	1.21	1.24	2900	121	24.0	32.3	102.42	1.18	63.5	0.0157		
2	1.42	1.53	3700	142	28.1	35.3	102.84	1.38	62.3	0.0161		
3	1.71	2.00	5200	171	30.4	41.0	103.42	1.85	64.4	0.0155		
4	2.04	2.55	7300	204	35.8	46.8	104.48	1.96	67.6	0.0148	移動開始	
5	2.80	—	—	280	26.1	32.9	105.60	2.65	40.3	0.0248	砂通發送終了	
6	4.10	3.42	11300	410	27.8	34.5	108.20	3.79	36.8	0.0272		
7	4.63	3.98	14500	463	31.3	40.0	109.26	4.24	45.3	0.0285		
8	5.10	4.48	17500	510	34.3	—	110.20	4.63	36.5	0.0274	砂通崩れ始む	
9	3.63	—	—	363	48.3	—	107.26	3.38	63.5	0.0163	砂通消滅	

(II) 勾配 1/400 (表-13)

表-13. B 種-1/400

観測番号	水深 H(cm)	堰水頭 Q(cm ³ /sec)	流量 A(cm ³)	断面積 V(cm ² /sec)	平均流速 W(cm/sec)	表面流速 S(cm/sec)	幅 遠	閑 深	流速係数 C	等值粗度 N _e	備 考
1	1.42	1.33	3 100	142	21.8	31.3	102.82	1.38	76.5	0.0132	
2	1.77	1.80	4 500	177	25.4	38.0	103.54	1.71	76.5	0.0131	
3	2.24	2.45	6 800	224	30.4	43.7	104.48	2.14	78.9	0.0127	
4	2.83	3.29	10 600	283	37.5	49.1	105.66	2.68	84.1	0.0119	移動開始 砂連続壁終了
5	3.79	"	"	379	28.0	35.7	107.58	3.52	82.1	0.0192	
6	4.77	3.88	13 900	477	29.2	38.8	108.54	4.36	47.1	0.0212	
7	6.47	4.28	16 300	547	28.8	39.6	110.94	4.93	47.5	0.0211	
8	6.12	4.94	20 200	612	33.0	44.5	112.24	5.45	45.9	0.0218	
9	6.52	5.84	24 500	652	37.6	48.8	113.04	5.77	50.4	0.0198	
10	7.18	6.46	29 900	718	41.7	"	114.56	6.28	52.7	0.0190	砂連続壁始む 砂連消滅
11	5.67	"	"	567	52.8	60.7	111.34	5.08	77.0	0.0130	
1	1.27	1.40	3 300	127	28.0	31.7	102.54	1.24	97.1	0.0103	
2	1.97	2.27	6 200	197	31.5	40.5	103.94	1.87	89.4	0.0112	
3	2.77	3.27	10 400	277	37.5	47.1	105.54	2.62	85.0	0.0118	移動開始 砂連続壁終了
4	4.13	"	"	413	25.2	31.4	108.26	3.82	49.2	0.0205	
5	4.87	3.60	12 200	487	28.2	32.9	108.54	4.27	42.9	0.0233	
6	5.67	4.43	37 200	567	30.4	37.2	111.34	5.09	44.2	0.0226	
7	6.17	5.20	21 800	617	35.4	41.7	112.34	5.49	49.0	0.0209	
8	6.97	6.34	29 000	697	41.7	"	112.94	6.15	53.5	0.0187	砂連続壁始む 砂連消滅
9	5.47	"	"	547	53.0	64.0	110.94	4.93	78.8	0.0127	
10	6.37	7.51	37 200	637	58.4	73.4	112.74	5.65	79.3	0.0126	
11	7.37	8.68	48 200	737	62.7	77.0	114.74	6.42	78.2	0.0128	

(III) 勾配 1/600 (表-14)

表-14. B 種-1/600

観測番号	水深 H(cm)	堰水頭 Q(cm ³ /sec)	流量 A(cm ³)	断面積 V(cm ² /sec)	平均流速 W(cm/sec)	表面流速 S(cm/sec)	幅 遠	閑 深	流速係数 C	等值粗度 N _e	備 考
1	2.31	2.25	6 100	231	26.4	36.0	104.62	2.19	82.6	0.0121	
2	3.28	3.41	11 300	328	33.2	47.4	108.56	3.08	83.7	0.0119	
3	4.38	4.54	17 800	438	40.6	"	108.76	4.03	84.6	0.0118	移動開始 砂連続壁終了
4	6.78	"	"	578	30.8	"	111.56	5.09	54.9	0.0182	
5	7.58	5.64	24 500	758	33.5	43.4	115.16	6.76	49.3	0.0203	
6	8.58	6.82	32 300	858	37.7	45.5	117.16	7.32	52.8	0.0190	
7	9.58	8.23	42 700	958	44.6	55.0	119.16	8.04	58.6	0.0171	
8	10.18	9.32	51 400	1 018	50.5	"	120.36	8.46	64.2	0.0156	砂連続壁始む 砂連消滅
9	9.08	"	"	908	56.6	73.2	118.16	7.68	76.7	0.0150	
1	1.31	1.23	2 850	131	21.8	27.1	102.62	1.28	97.4	0.0103	
2	2.03	2.00	5 200	203	25.8	37.7	104.06	1.85	86.5	0.0116	
3	2.92	3.01	9 200	292	31.7	40.3	105.84	2.73	85.6	0.0117	
4	3.85	3.95	14 300	385	37.2	52.1	107.70	3.68	84.7	0.0118	移動開始 砂連続壁終了
5	4.38	4.62	18 300	438	41.7	"	108.76	4.03	86.9	0.0115	
6	5.78	"	"	578	31.7	38.8	111.56	5.18	65.8	0.0179	
7	7.11	5.48	23 600	711	33.2	42.1	114.22	6.23	61.3	0.0193	
8	8.18	6.38	29 300	818	35.8	42.7	116.36	7.03	51.5	0.0194	
9	8.88	7.15	34 700	888	39.1	51.7	117.76	7.54	53.9	0.0186	
10	9.68	8.71	46 500	968	48.0	60.6	119.36	8.12	62.7	0.0160	
11	10.58	10.19	58 800	1 058	55.6	"	121.16	8.73	69.2	—	

表-15. B 種—1/800

観測番号	水深 $H(\text{cm})$	堰水頭 $h(\text{cm})$	流量 $Q(\text{cm}^3/\text{sec})$	断面積 $A(\text{cm}^2)$	平均流速 $V(\text{cm}/\text{sec})$	表面流速 $W(\text{cm}/\text{sec})$	潤溝深 $S(\text{cm})$	徑深 $R(\text{cm})$	流速係数 O	等值粗度係数 N_e	備考
1	1.91	1.65	4.100	191	21.4	23.4	103.82	1.84	86.9	0.0115	
2	2.97	2.72	7.900	297	26.8	36.1	105.94	2.80	82.1	0.0122	
3	4.11	3.93	14.200	411	34.6	44.5	108.22	3.80	86.4	0.0116	
4	4.79	4.65	18.450	479	38.8	47.4	109.58	4.37	88.3	0.0113	
5	5.55	5.28	22.300	555	40.2	51.3	111.10	5.00	83.7	0.0120	移動開始
6	6.14	5.81	25.600	614	41.7	47.7	112.28	5.47	81.7	0.0122	砂連發達終了
7	8.06	"	"	806	31.8	—	116.12	6.94	63.1	0.0188	
8	9.89	7.02	33.700	989	34.1	43.5	119.78	8.26	50.7	0.0197	
9	12.14	8.29	43.100	1214	35.5	47.4	124.28	9.77	47.3	0.0212	
10	13.04	9.16	50.000	1304	38.3	47.7	126.08	10.34	49.2	0.0203	
11	13.24	9.55	53.400	1324	41.0	50.0	126.48	10.47	52.1	0.0192	
12	13.59	10.51	57.800	1359	42.5	54.4	127.18	10.69	53.3	0.0187	
13	13.84	11.22	68.000	1384	49.2	57.8	127.68	10.84	61.1	0.0184	
14	14.19	12.02	75.400	1419	53.1	68.5	128.38	11.05	65.2	0.0153	砂連崩れ始む
15	12.95	"	"	1295	58.2	—	125.90	10.29	74.9	0.0134	砂連消滅

(v) 勾配 1/1 000 (表-16)

表-16. B 種—1/1 000

観測番号	水深 $H(\text{cm})$	堰水頭 $h(\text{cm})$	流量 $Q(\text{cm}^3/\text{sec})$	断面積 $A(\text{cm}^2)$	平均流速 $V(\text{cm}/\text{sec})$	表面流速 $W(\text{cm}/\text{sec})$	潤溝深 $S(\text{cm})$	徑深 $R(\text{cm})$	流速係数 O	等值粗度係数 N_e	備考
1	2.44	2.01	5.300	244	21.7	27.6	104.88	2.33	84.1	0.0119	
2	4.92	4.40	17.000	492	34.6	42.4	109.84	4.48	86.8	0.0115	
3	6.32	5.65	24.600	632	39.0	49.3	112.64	5.61	84.1	0.0119	
4	6.51	6.01	26.800	651	41.2	50.5	113.02	5.76	87.4	0.0114	
5	7.04	6.58	30.500	704	43.3	51.3	114.08	6.17	87.7	0.0114	移動開始
6	9.39	"	"	939	32.5	—	118.78	7.91	55.8	0.0179	砂連發達終了
7	9.78	6.76	31.900	978	32.6	40.0	119.56	8.18	54.7	0.0183	
8	13.02	8.42	44.100	1302	33.8	42.4	128.04	10.33	48.6	0.0208	
9	15.22	9.40	52.100	1522	34.2	43.5	130.44	11.67	45.3	0.0221	
10	16.38	10.36	60.300	1538	39.3	48.1	130.76	11.76	61.7	0.0193	
11	16.17	10.82	64.400	1617	39.8	50.8	132.34	12.22	61.1	0.0186	
12	17.17	11.43	70.000	1712	40.8	51.3	134.34	12.78	60.8	0.0187	
1	2.09	1.69	4.200	209	20.1	25.6	104.18	2.01	85.9	0.0118	
2	4.12	3.55	12.000	412	29.1	38.3	108.24	3.81	81.3	0.0123	
3	5.72	5.10	21.000	572	37.1	44.1	111.44	6.13	85.0	0.0118	
4	6.87	6.16	27.800	687	40.5	—	113.74	6.04	83.2	0.0120	移動開始
5	9.09	"	"	909	30.8	39.0	118.18	7.69	53.5	0.0187	砂連發達終了
6	10.42	6.86	32.600	1042	31.3	40.0	120.84	8.62	50.7	0.0197	
7	13.54	8.65	46.000	1554	34.0	44.8	127.08	10.85	47.9	0.0209	
8	14.02	8.14	49.800	1402	35.1	46.1	128.04	10.95	48.5	0.0206	
9	15.92	10.75	63.800	1592	40.1	48.8	132.84	12.03	51.9	0.0193	
10	17.37	11.53	70.900	1737	40.8	49.8	134.74	12.09	50.6	0.0198	
11	18.87	13.00	84.700	1887	44.9	54.9	137.74	13.70	53.4	0.0187	

表-17. B 種—1/2 000

観測番號	水深 H(cm)	堰水頭 h(cm)	流量 Q(cm ³ /sec)	断面積 A(cm ²)	平均流速 V(cm/sec)	表面流速 W(cm/sec)	潤邊 S(cm)	徑深 R(cm)	流速係数 C	等価粗度係数 N _e	備考	
1	2.51	1.60	3900	251	16.5	19.7	105.02	2.39	83.7	0.0120		
2	4.62	3.07	9 550	462	20.7	27.2	109.24	4.23	76.1	0.0131		
3	6.12	4.22	15 850	612	26.4	32.4	112.24	6.45	79.1	0.0126		
4	9.14	6.38	29 350	914	32.1	40.0	118.28	7.73	79.1	0.0126		
5	10.54	7.40	36 400	1 054	34.6	42.4	121.08	8.70	78.7	0.0127		
6	11.64	8.47	44 500	1 184	38.2	46.1	126.28	9.44	82.5	0.0121	移動開始	
7	12.94	9.39	51 800	1 294	40.0	48.5	125.98	10.25	81.6	0.0123		
8	13.54	9.80	65 500	1 354	41.0	47.2	127.08	10.65	81.6	0.0123		
9	14.74	10.60	62 400	1 474	42.3	51.80	129.48	11.58	80.6	0.0124		
10	15.61	11.01	68 050	1 631	43.1	—	130.62	11.72	80.5	0.0124		
11	15.49	"	"	1 549	42.7	51.54	130.88	11.83	79.2	0.0126		
12	18.18	"	70 900	1 929	36.8	42.37	136.38	13.63	62.3	0.0161	砂連続終了	
13	19.29	11.53	"	"	36.8	42.37	138.68	13.93	61.2	0.0163		
1	4.87	3.53	10 850	487	22.5	28.5	109.74	4.44	80.3	0.0125		
2	10.47	7.38	36 300	1 047	34.7	41.2	120.94	8.66	78.2	0.0126		
3	12.22	8.72	47 000	1 222	38.5	45.5	124.44	9.82	81.0	0.0123		
4	14.22	10.21	59 000	1 422	41.5	47.2	128.44	11.07	80.5	0.0124		
5	16.37	11.07	66 600	1 537	43.4	—	130.74	11.76	80.8	0.0124	移動開始	
6	16.27	11.21	67 900	1 527	44.5	54.7	130.54	11.70	83.2	0.0120		
7	16.35	"	"	1 635	41.5	51.3	132.70	12.32	75.0	0.0133		
8	17.67	"	"	1 767	38.4	46.1	135.34	13.06	66.8	0.0150		
9	19.57	11.60	"	71 500	1 957	36.6	43.5	139.48	14.06	60.5	0.0165	砂連続終了

(5) C 種試験用砂

(1) 勾配 1/300 (表-18 C 種—1/300)

表-18. C 種—1/300

観測番號	水深 H(cm)	堰水頭 h(cm)	流量 Q(cm ³ /sec)	断面積 A(cm ²)	平均流速 V(cm/sec)	表面流速 W(cm/sec)	潤邊 S(cm)	徑深 R(cm)	流速係数 C	等価粗度係数 N _e	備考
1	1.71	1.76	4 400	171	25.7	32.8	103.42	1.65	54.41	0.0184	移動開始 $H=2.5\text{ cm}$
2	3.42	3.92	14 100	342	41.2	52.6	108.84	3.20	56.11	0.0178	
3	4.25	5.00	20 600	425	48.5	68.8	108.50	3.92	57.87	0.0175	
4	4.87	5.80	25 600	487	52.6	—	109.74	4.44	54.67	0.0183	
5	6.57	8.92 (6.42)	36 500 (29 600)	637	56.9	66.7	112.74	5.65	55.82	0.0179	
6	7.87	9.50	53 000	787	62.4	76.9	115.74	6.80	51.39	0.0195	

砂を鎌で均らして 1/10 000 の勾配を正確に作ることとは極めて困難であった。勾配 1/10 000 に就て観測を行つたのであるが、之が更して 1/10 000 の観測であるかどうかは多少疑はしい。此處では参考として列記するに止めて置く。

(i) 及び (iv) 以外は 2 回観測したので 2 回共列舉して置く。勾配 1/1 000 及び 1/2 000 の場合には水路の水深を 20 cm 以上に高めることが出来なかつたので、前小節に述べた G, H に相當する點、即ち砂連続減する點を見出すことが出来なかつたのは遺憾である。

試験の範囲は僅かであるが、以上試みた3種類の試験用砂に就ての結果から見ると河床砂礫の移動状況は明らかに混合砂礫の大きさ、混合割合に關係することが窺はれる。従つて流速公式の中の粗度係数は同様河床構成砂礫の状態に依つても變化するものであり、同一河床材料で同一勾配の場合にも其の凹凸が勿論之は水深に依つて影響されるところは異なるが、粗度係数を支配する1因であることを知る。此の影響は特に可動河床模型実験の場合には十分に考慮する要がある。類似の水深、勾配を持つ河川に於ても河床砂礫の大きさ、其の混合状態に依つて河床の移動状態並びに流況に違ひのあることを示すものであり、更に之は模型と實際との間に相似性を與へる場合に考へねばならぬ事項である。

[2.4] 限界掃流力

[2.4.1] 掃流力の法則

最初に河床と水流との間の摩擦抵抗を勾配と河床の単位面積上の水の重量との積で表はしたのは E. du Buat であつて、P. du Boys は Rhone 河に於ける観測から之を一般化した。之は掃流力 (Schleppkraft) に關し、吾々が現在考へてゐるところの基礎概念をなすものであり、此の最初の目的を意識した之等の基本原理の新しい方向への發展は明らかに du Boys の功績である。du Boys は水流の河床に働く力を “force d'entrainement” と名付けた。F. Kr-euter は之を “Schleppkraft” と獨譯したのである。

今水路の単位長に就て考へる。水面勾配を I 、湛潤邊長を p 、水路断面積を A 、流水の単位重量を γ 、河床と水流との摩擦抵抗を k_0 とすると、du Buat に依れば

$$k_0 = A \cdot \gamma \cdot l$$

此處に水路の平均深 H を $H = \frac{A}{p}$ とすれば

$$k_0 = p \cdot H \cdot \gamma \cdot I$$

河床横断面単位長當りに就て見ると

$$\frac{k_0}{p} = S = \gamma \cdot H \cdot I \quad \dots \dots \dots (48)$$

夫れ故水深に比し幅員の極めて擴い場合に就いて考へれば

$$\begin{aligned} 6) \quad S &= \text{掃流力 (gr/cm}^2\text{)} \\ &= 1000 HI \end{aligned}$$

となる。

一般に水深に比し幅員の極めて擴い場合には各流線は互に影響することなく同じ運動をすると考へられるが、試験水路の如く幅員の狭いものにあつては、斷面の綜合的掃流力が考へられねばならぬのであり、此の場合一般に河床の抵抗は

$$K = \frac{1}{\alpha} \gamma \cdot H \cdot I \quad \dots \dots \dots (49)$$

で示される。普通 α は 1 より大きな常数であつて、之が河床砂礫を移動せしめるところの力に相當するものであり、此の K に相當する値を流砂力 (Sohlenangriff) と稱し、之は河床の単位面積に作用する掃流力の一部をなすものである。A. Schoklitsch に依れば水深が水面幅の 1/30 以下の場合には α は 1 に近いと云はれてゐる。

A. Schoklitsch は流水の重量の水面勾配に平行の分力は之と反對の方向をとる湛潤面の抵抗に等しく、此の湛潤面の抵抗は大體に於て流速の自乗に比例すると云ふことから (49) 式に於て矩形水路では $\frac{1}{\alpha} = \frac{1}{1 + \frac{2H}{B} \frac{c_1^2}{c_2^2}}$ 、梯形

水路では $\frac{1}{\alpha} = \frac{1 + \frac{H}{B} n}{1 + \frac{2H}{B} \frac{c_1^2}{c_2^2} \sqrt{1+n^2}}$ であるとして此の數値を求めた。茲に B は水面幅で、 c_1 は河床、 c_2 は側壁の粗度に依る流速係数である。 n は勾配とする。

$$\text{矩形水路 } \frac{1}{a} = \frac{1}{1 + \frac{2H}{B} \cdot \frac{c_1^2}{c_2^2}}$$

B	1H	2H	3H	4H	5H	10H	20H	30H
$\frac{c_1}{c_2} = 0.5$	0.667	0.800	0.859	0.889	0.910	0.952	0.975	0.985
$\frac{c_1}{c_2} = 1.0$	0.333	0.500	0.600	0.667	0.715	0.835	0.910	0.940
$\frac{c_1}{c_2} = 1.5$	0.182	0.308	0.400	0.472	0.526	0.690	0.816	0.900

$$\text{梯形水路 } \frac{1}{a} = \frac{1 + \frac{H}{B} \cdot n}{1 + \frac{2H}{B} \cdot \frac{c_1^2}{c_2^2} \sqrt{1+n^2}}$$

B	1H	2H	3H	4H	5H	10H	20H	30H
$\frac{c_1}{c_2} = 0.5$	1.170	1.109	1.079	1.062	1.050	1.027	1.014	1.010
$\frac{c_1}{c_2} = 1.0$	0.522	0.621	0.686	0.723	0.772	0.852	0.920	0.944
$\frac{c_1}{c_2} = 1.5$	0.272	0.358	0.428	0.482	0.530	0.673	0.796	0.854

H. Krey, H. Engels は同様に試験の結果實際河床に作用する力は掃流力の法則と多少異なることを認めてゐる。併し Kreuter も云ふ様に du Boys に依り發展した砂礫移動の理論は數多くの自然及び人工の水路での觀測の結果を満足せしめるものであつて、移動河床に於ける河床工事に對し貴重な 1 つの立脚點を與へたものと考へられる。du Boys は非常に河幅の廣い河川を假想してゐるのであつて、此の點不明瞭には考へてゐない。

〔24-2〕限界掃流力

河床砂礫の移動を始めた場合の掃流力を限界掃流力と云ふ。著者の實驗に就て掃流限界點を示すと別表測定値表の備考欄にあげた通りである。

du Buat が夫々の砂礫粒に關しては河床が平衡状態になると云ふ流速のあることを認めて以來、之等の流速に就て理論的に又は實驗的に求めやうと數多くの努力が試みられて來た。各種の河床材料に對し實用的に限界流速を du Buat が求めたのは 1816 年のことであつて、之を示すと表-23 の通りである。

表-23.

河床流速 v_s (cm/sec)	陶土	粗砂	Seine 河砂礫			徑 2.7cm 以上の海 岸砂礫	鷺卵大の 角のある 珪石
			茴香種子 大のもの	豆粒大 のもの	蠶豆大 のもの		
			自重 (gr/cm³)				
2.64	3.36	2.545	2.545	2.545	2.614	2.250	
120	移動	移動	移動	移動	移動	移動	平衡
75	"	"	"	"	"	"	平衡
65	"	"	"	"	"	"	靜止
47	"	"	"	"	"	"	平衡
32.5	"	"	"	"	"	"	平衡
21.6	"	平衡	"	"	平衡	"	"
18.9	"	靜止	"	平衡	"	"	"
15.6	細砂浮游	"	"	平衡	"	"	"
10.8	"	"	平衡	"	"	"	"
8.1	平衡	"	平衡	"	"	"	"

限界流速に關しては主なものとしても、古くは Kutter, Sternberg, Grebenau, Leslie, Hochenbürger, Law, Airy, Thiery, Ney 等から Schoklitsch, Gilbert, Kurtzmann 等 20 に達する公式があり、限界流速の觀測例も du Buat を初めとし Sainjon, Suchier, Lapparent 等數多くの報告があるのであるが、之等の實驗は記述に當つて其の流況例へば勾配、水深、如何にして流速を測定したか等に就き不明瞭なものが多々、又河床材料の説明が不充分であつて、一般的なものとしては考へられぬものが多く、公式も實用に當つては役立たぬものが多い。

一般に自然河川の河床は單一粒徑の砂礫からなることは極めて稀であり、各

種の粒径を持つものの混合體であるから、普通先づ細粒は僅かな流速に依つても移動を始め、流速の増大に従つて漸次大粒迄移動する様になるものであり、各粒径のものゝ混合の割合に依つて又最大移動砂礫の粒径は異なるものであるから、之が又當然河床の抵抗を表す場合に這入つて來なければならない。河床は極めて複雑してゐるものであるから、此の砂礫の移動の段階と云ふものは明瞭に指摘することはなかなか困難である。

砂礫の平衡状態を定めるのに du Boys の法則を最初に用ひたのは F. Kreuter である。Kreuter は限界掃流力は砂礫集中に於ける砂の多少、砂礫粒の形狀又は其の比重に依つて異なることを指摘して居り、又砂礫の動き始める時の掃流力は沈没する場合の夫れより 30% 位大きいことを認めてゐる。

Schoklitsch は一方限界掃流力は砂礫の自重或は形狀に依り變化すると共に他方河床の状態が之に影響を及ぼすことを認め、先づ河床の状態を明瞭ならしめるために同一大きさ及び同一形狀の砂礫粒からなる河床を作つて實験を試み、次で鋪石した河床上の砂礫粒の限界掃流力を測定した。更に異形の砂礫粒を試験水路に敷詰め其の上に考ふる砂礫を敷いて試験を行つたのである。此の實験に用ひた試験水路は幅 9.7 cm の木製水路であつて、水深は 3~8 cm の間に變化してゐる。第 1 實験に用ひた測定材料は磁器片、石英砂、鑛石粉及び粘板岩片の 4 種類であつて、10 種類の實測値から求めた限界掃流力 S_0 (gr/cm²) は次の通りである。

$$S_0 = \sqrt{0.00385(\gamma_1 - \gamma)\gamma_1 \lambda V} \quad (50)$$

茲に γ_1 は材料の自重、 V は粒子體積で、単位は gr, cm である。 λ は粒子の形狀に依る係数で、磁器片(球)を 1.00 とすると、石英砂(自然砂)では 1.26、鑛石粉(角のあるもの)では 3.11、粘板岩砂(薄い片)では 4.38 となつてゐた。第 2 實験の結果によると若し河床が規則正しく鋪石されてゐると限界掃流力は弛緩してゐる場合に比し約半減してゐた。第 3 實験では水路敷に

2 cm 高に 0.04 cm³ の磁器球を満たし、其の上にセメント球(4 種類)及び硝子球(2 種類)を敷いて試験を行つたのであるが此の結果を式で表はすと次の通りとなつた。

$$\frac{S'_0}{S_0} = 1 + \sqrt[4]{10.5\left(\frac{V}{V_s} - 1\right)} \quad (51)$$

茲に S_0 = 測定砂礫粒に對する觀測限界掃流力、 S'_0 = 一様に V を用ひたと假定した場合の計算に依る限界掃流力

V = 觀測砂礫粒の體積、 V_s = 河床に於ける砂礫粒の體積、此の場合では 0.04 cm³ である。

今體積 V (cm³)、比重 γ_1 、形狀係数 λ の砂礫に對する限界掃流力を S_0 (gr/cm²) とすると、之が體積 V_s (cm³) の粒子からなる河床上に在つて靜止の状態にあるときには (50) 及び (51) 兩式から

$$S_0 = \frac{\sqrt{0.00385(\gamma_1 - \gamma)\gamma_1 \lambda V}}{1 + \sqrt[4]{10.5\left(\frac{V}{V_s} - 1\right)}} \quad (52)$$

大體に於て自然河川に於ても此の傾向は認められてゐる。

Krey は上述の實験と異り、各種粒径の混合砂礫に就て限界掃流力を測定した。此の實験は幅員 2 m の水路で行はれ、砂礫の移動開始水深として 10 cm 迄測定されたのである。此の混合砂礫は自然河川に於けるもの程不規則ではないが、實際との關係をより良く示してゐると云はれてゐる。此の場合砂礫の移動の測定は困難であり、Krey は Schoklitsch と異つて、砂礫粒の最初の動きではなく、盛んに移動を始めたときを測定したのである。之を式で示すと次の通りである。

$$S_0(0.045 \sim 0.07) \frac{\gamma_1 - \gamma}{\gamma} d \quad (53)$$

此の Krey の公式は Eisner の實験の結果と良く一致してゐる。Eisner は活潑な移動開始の場合の掃流力を限界掃流力と考へたのであつて、1 個の粒子

に就てではなく、河床上を浮動する粒子に就ての測定を行つたのである。此の観測の結果を式で表はすと次の通りである。

$$S_0 = \varphi \left(\frac{R}{R_{Korn}}, \frac{\alpha}{t}, \frac{\alpha}{d} \right) \cdot \frac{\gamma_1 - \gamma}{\gamma} \cdot d \quad \dots \dots \dots (54)$$

茲に R は全水路の Reynolds 常数で、 R_{Korn} は粒子に特有な Reynolds 常数 $\frac{\varepsilon \cdot v_m \cdot d}{\nu}$ であり、 v_m は粒子が活潑な移動を始めた場合に之を支持して行くところの層の亂されぬ流速である。 α は河床から此の層迄の厚さであり、 t は水路の水深である。 φ は dimension のない係数である。

Schaffernak は流砂量を求める場合に各種砂礫の混合状態に依つて流下状況の異なることを認め、砂礫混合比の異なる材料を用ひて実験を行ひ、之等の資料から流砂量を求める公式を誘導した。此の場合 Schaffernak は河床の流速は粗度の影響を著しく受けるものであり、粗度の如何に依り同じ水面勾配、水深の場合にも河床の流速は異なるから、同一掃流力に對し同一砂礫の移動を見る理に行かぬと考へ、流砂量を底流速の函数として求めたのである。中山秀三郎博士は之と同様ではあるが全く別途に実験の結果流砂量は流速の函数で表はし得られることを認めて居られる。

上述の結果に多少の違のあるのは 掃流限界の取扱いに差異があるのであって、之には別に不思議はない。一般に河床に作用する流水の力は多くの実験もそうであり、又後述するが著者の実験でも認められる様に、du Boys の與へた基本法則は充分信頼することが出来る。唯其の砂礫の移動開始を見る限界點は砂礫の粒径、形、比重又は混合状態に依り異なると云ふのみであつて、既に述べた様に Strickler は Gaukler の平均流速公式 $v = \lambda R^{2/3} I^{1/2}$ の λ 、之は大體に於て Kutter の平均流速公式中の粗度係数 n の逆數と認められてゐるものであるが、此の λ を $\lambda = \frac{21.1}{\sqrt{d}}$ 、茲に d は河床砂礫粒径、と單に粒径或は河床の凹凸を示すものに過ぎぬと云ふてゐる程であり、砂礫の移動状況を表は

すのに事實測定の困難な河床流速を用ひる必要は認められない。

斯く考へると河床の抵抗は砂礫の性質に従つて定つたものであり、砂礫移動の限界點は之に依つて表示せられるに違ひない。

H. Kramer は限界掃流力は砂礫の大きさ以外に砂礫の空隙比、即ち其の混合してゐる状態にも關係を持つものと考へ、試験用砂を篩分け、其の混合状態を確めてから實験を行つた。此の結果から限界掃流力 S_0 (gr/cm^2) を次の如く表はしたのである。

$$S_0 = \frac{100}{60} \frac{d_m(\gamma_1 - \gamma)}{M} \quad \dots \dots \dots (55)$$

茲に d_m (mm) は平均粒径、 M は混合比、 γ_1 は砂礫の比重、 γ は水の比重である。 M は圖-1に示す $\frac{A}{B} = \frac{\sum_{p=50\%}^{p=100\%} dAp}{\sum_{p=0\%}^{p=50\%} dAp}$ に相當するもので砂礫の混合状態を示してゐる。之に依れば限界掃流力は砂礫の水中に於ける単位重量及び平均粒径に比例し、混合比に逆比例するものであると云ふことになる。Kramer は此の公式は其の構造上、餘り不規則でない篩分け曲線を持ち、粒径 5 mm 以下であり、限界掃流力 $80 gr/cm^2$ 以下の場合に石英砂に對し良く適要出来る旨を述べてゐる。

E. Indri は實験の結果から更に Gilbert 其の他の實測値を參照し、限界掃流力は平均粒径と混合比に關係するが、之は直線的に變化するものでなく、常數は平均粒径 $d_m = 1 mm$ で異なることを指摘して、次の關係式を擧げてゐる。

$$\left. \begin{aligned} S_0 &= 13.3 d_m \frac{\gamma_1 - \gamma}{M} + 12.16 & d_m < 1 mm \\ S_0 &= 54.85 d_m \frac{\gamma_1 - \gamma}{M} - 78.48 & d_m > 1 mm \end{aligned} \right\} \quad \dots \dots \dots (56)$$

茲に記號は Kramer 公式の場合と同様である。

Y. L. Chang は粒径 0.11~12.1 mm の篩分けた均一砂を使用した階級化

分けて粒度係数を求めたが、之に依れば Manning 公式の n は

$$n = 0.0166 dm^{1/6}$$

で表はすことが出来た。之は Strickler の $k = \frac{21.1}{\sqrt{\rho}}$ と良く一致してゐる。

Chang は又 Victoria University, Manchester での実験から限界掃流力 S_0 を求め、Kramer, Schaffernak, Schoklitsch, Krey, Engels, Gilbert, Indri の実験結果を参考し、次の関係式を求めてゐる。

$$S_0 = C \left(\frac{\gamma - \gamma_0}{\gamma} \cdot dm \cdot O^{1/3} \right)^\beta \quad \dots \dots \dots \quad (57)$$

茲に O は最大及び最小砂粒径の比で、 C は常数、 β は $1/2 \sim 1$ で亂流の程度に關係する値である。

Kramer の限界掃流力に関する研究は之等の問題に就ての最も新しい處理方法であり、複雑な河床の移動に關し最も困難な混合砂礫に就て假令資料が不充分であるとは云へ新しい見方を與へたものであると云ふことが出来る。種々の大いさの砂礫の移動に就ての限界掃流力の値が各種の実験の結果に於て多少異なるのは砂礫の移動開始が掃流力の函数のみではなく、掃流力と亂流との結合等にも關聯するものと考へられるものであつて、大體に於て河床の砂礫の状態は其の個所に於ける流速を決定する 1 因をなして居り、之に依つて或る定められた河床抵抗の限界が見られるのであつて、従つて又平衡状態を保つ河床の勾配も亦之から定められると云ふことが考へられる。

〔2.4.5〕 実験水路に於ける掃流限界點の勾配と水深との關係

著者の実験水路に於て求めた掃流限界に於ける勾配と水流との關係に就ては既に〔1. 4. 3〕で述べた通りである。表-7~22 に示した限界點に於ける水深 H_0 及び勾配 I_0 から図-14 を描けば、各種試験用砂共殆ど直線と見做して差支へない。此の実験に於ては $1/2000$ より緩な勾配に於ては河床は移動を始める迄水位を高めることが出来なかつたので、之以下の緩勾配の場合は正確と

は云ひ得ぬが、記録の在る範圍即ち、 $1/2000$ 以上の勾配に於ては直線と見做して差支へないであらう。其處で之を直線とすれば $\gamma H_0 I_0$ は各材料に就ては一定と云ふことであり、此の材料に特有な數値を以て限界掃流力としても差支へない。實験の結果から限界掃流力を求めると次の通りである。

A 種試験用砂

$1/I_0$	600	1000	2000
H_0	0.011 m	0.020 m	0.045 m
$\therefore H_0 I_0$	$= 0.00002184$	$\therefore S_0 = \gamma H_0 I_0 = 0.022 \text{ kg/m}^2$	

但し $\gamma = 1000 \text{ kg}$ とする。

B 種試験用砂

$1/I_0$	300	400	600	800	1000	2000
H_0	0.020 m	0.028 m	0.044 m	0.059 m	0.071 m	0.153 m
$\therefore H_0 I_0$	$= 0.00007493$	$\therefore S_0 = \gamma H_0 I_0 = 0.075 \text{ kg/m}^2$				

C 種試験用砂

$1/I_0$	300	600	800	1000	2000
H_0	0.025 m	0.057 m	0.070 m	0.099 m	0.200 m
$\therefore H_0 I_0$	$= 0.00009816$	$\therefore S_0 = \gamma H_0 I_0 = 0.098 \text{ kg/m}^2$			

試に Kramer の公式に依つて各種試験用砂に對する限界掃流力を算出すれば、

A 種試験用砂

$$dm = 0.2211 \text{ mm} \quad M = 0.6755$$

γ = 試験用砂の比重 = 2.7 γ_0 = 水の比重 = 1.0

$$\therefore S_0 = \frac{100}{6} \frac{(\gamma - \gamma_0)}{M} dm = 9.27 \text{ gr/m}^2$$

B 種試験用砂

$$dm = 0.7002 \text{ mm} \quad M = 0.1830$$

$$\therefore S_0 = \frac{100}{6} \frac{(r-r_0)}{M} dm = 108.41 \text{ gr/m}^2$$

C種試験用砂

$$dm = 1.2205 \text{ mm} \quad M = 0.3560$$

$$\therefore S_0 = \frac{100}{6} \frac{(r-r_0)}{M} dm = 97.14 \text{ gr/m}^2$$

実験の結果は大體に於て Kramer の云ふところと一致してゐる。Kramer の考へ方は至當と思はれるが、唯砂礫の混合状態を表はすのに多少不充分ではないか。著者は更に之を實際河川に就て検討した。之に關しては次節に述べることにする。

[2.5] 河川の平衡勾配

[2.5.1] Sternberg の法則

河床砂礫の流送に關し最初に之を理論的に考へたのは H. Sternberg である。Sternberg は一般に砂礫は流下するに従ひ互に衝突して破碎され、磨滅されて漸時小粒となるが、此の流下に依る砂礫の重量減少は摩擦抵抗に比例するものと考へたのである。水中に於ける砂礫の重量を P 、流下距離 dx で dP だけ減少したものとし、此の場合の摩擦抵抗を ϕP とすれば、

$$-dP = \phi P \cdot dx$$

起點 $x=0$ に於ける砂礫粒の重量を P_0 とすれば、

$$P = P_0 e^{-\phi x} \quad \dots \dots \dots \quad (58)$$

之を Sternberg の法則と云ふ。茲に ϕ のは石質による常数である。

今 m_0 及び m を夫々 P_0 及び P の単位重量中の砂礫の數とすれば

$$\frac{P}{P_0} = \frac{m_0}{m}$$

$$\therefore \frac{m_0}{m} = e^{-\phi x} \quad \dots \dots \dots \quad (59)$$

となる。

Sternberg は Rhein 河の Hüningen から Mannheim に至る間で砂礫の重量の減少を測定したが、其の結果は表-24 の通りである。

表-24

測定地點	1立方呎中 の砂礫數	測定の地點 に於ける流 下最大石の 重量 (kg)	各地點間 距 (m)	$c\phi$ (m^{-1})
Weilan der Hüningen Brücke	600	5.870	28.410	0.0000 0743
Neuenberg	1210	4.750	26.820	0.0000 0800
Breisach	1540	2.900	35.490	0.0000 0722
Kappeln-Rheinan	7500	2.250	48.390	0.0000 0825
Freistett	1900	1.150	40.500	0.0000 0983
An-Lantenberg	4821	1.000	81.310	0.0000 2010
Mannheim	5876	0.100		

Sternberg は此の測定の場合に石質に就ては考へなかつたのであるが、此の $c\phi$ は石質に依つて特定の値のある常数であつて、其の後の各種の測定値は之を確めて居り、大體に於て Sternberg の觀測と一致してゐる。普通石灰石で 0.01 km^{-1} 、花崗岩で $0.005 \sim 0.003 \text{ km}^{-1}$ 位のものであり、一般に硬軟混合のもので最も大きく、軟質之に次ぎ、一様に硬質のものが最少である。

砂礫は斯くの如く流下するに従つて粒徑を減じて来る。P. du Boys に従へば流水の掃流力 $S = rHI$ は河床が徑 d なる砂礫からなるとすると、 nd なる厚さの砂層の摩擦抵抗と平衡すると云ふことから、掃流力は砂礫粒徑に比例することが考へられる。夫れ故に若し砂礫粒徑が流下に従つて減少すると同様に掃流力が減少するとすれば、即ち勾配が緩くなるに應じて水深は増加するも、其の相乘積の値が粒徑の減少に比例して減ずる時には河床には洗掘も堆積も見ないことになる。此の勾配を平衡勾配と云ふ。

物部博士は統上の関係から Sternberg の法則に従ひ、幅員 B 、流量 Q に変化のない矩形断面水路に對し

$$\frac{P}{P_0} = \left(\frac{HI}{H_0 I_0} \right)^{\frac{3}{2}} = \left(\frac{I}{I_0} \right)^{3 - \frac{3}{2} + 2m} = \left(\frac{I}{I_0} \right)^2$$

茲に m は流速公式の累數で、流速係数 c を定數とすれば大略 0.7 位のものである。之から

$$I = I_0 e^{-\frac{c\varphi}{2-12}x} = I_0 e^{-\frac{c\varphi}{2}x}$$

なる關係を求め、 $c\varphi$ が大體に於て一様な區間に對し、水面及び河床の平衡勾配を與へられてゐる。

$$z = z - H$$

$$= z_0 - \frac{2}{c\varphi} I_0 \left(1 - e^{-\frac{c\varphi}{2}x} \right) - H_0 e^{\frac{c\varphi}{6}x} \quad \dots \dots \dots (60)$$

$$i = -\frac{dz}{dx}$$

$$= I_0 c^{-\frac{c\varphi}{2}x} + \frac{c\varphi}{6} H_0 e^{\frac{c\varphi}{6}x} \quad \dots \dots \dots (61)$$

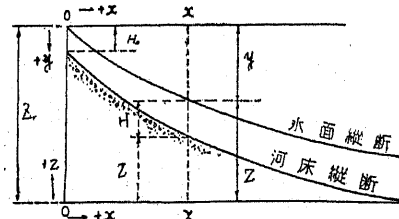
茲に i は河床の平衡勾配である。

②.5.2) 河床勾配と河床構成材料との關係

P. du Boys 以来流水の掃流力 S は τHI として表はされ、而も掃流限界點に於ける掃流力即ち限界掃流力 S_0 と其時の水深 H_0 及び勾配 I_0 との間には河床構成材料により或る一定の關係のあることは既に述べた通りである。此の事實は著者の實驗水路に於ても認められた。著者は更に實際河川に於て此の關係が如何になつてゐるかを調査した。

著者は富士川（釜無川及笛吹川を含む）及び鬼怒川に於て流路に沿ひ、2~4 km 間隔に主流に沿ふて、河床深さ 1.0~0.5 m、幅及び長さ約 0.5 m に 400

圖-37.



~600 kg の砂礫を採取し、之を標準篩に依つて篩分けたところ表-25~表-28 に示す如き結果が得られた。富士川は昭和 10 年 9 月、鬼怒川は昭和 13 年 9 月に殆んど計画洪水に相當する出水を見たのであって、砂礫の採取は大體に於て其の際の洪水の主流の流路となつた地點を擇び、其後の影響を除くために、河床面から約 10 cm は取り除き夫れから下で採取した。笛吹川筋及び鬼怒川筋に於ては水中より採取したところがあるが、此の場合は鋤籬で採取したのであって、所定の深さ迄は取れず、材料も變化が無いので、100 kg 程度に止めた。篩分は粒徑 3 cm 以上は全量を測つたが、夫れ以下は通過量を 8 等分し、任意の 2 単位即ち全量の 1/4 を計量した。

資料を採取すると同時に採取地點に於ける富士川に於ては昭和 10 年 9 月、鬼怒川に於ては昭和 13 年 9 月の出水の水位を測量し、水深を求めると共に資料採取地點の上下流約 450 m の距離をとつて其の間の最底河床高の差を求め、之を距離で除して河床勾配を決定した。上記の出水は現在の河道を形造つてゐる主因を爲してゐるものであり、此の水深は現在の河床構成に最も強い力を及してゐるものと考へられる。此の結果を表示すれば表-29~表-32 の通りである。表-33 には實驗の結果を示す。

表-25~表-28 に示す d_m は平均粒徑を表はすもので、圖-38 に於て

$$d_m = \sum_{p=0}^{p=100\%} d \cdot \Delta p / \sum_{p=0}^{p=100\%} \Delta p$$

として求めた値である。 k は同じく圖-38 に於て曲線の左側の部分即ち $\sum_{d=d_b}^{d=d_a} d \cdot \Delta p$ で示される面積 A_1 と右側の部分即ち $\sum_{d=d_a}^{d=d_b} p \cdot \Delta d$ で示される面積 A_2 との比である。此の場合之を混和比と稱する。茲に d は砂礫粒徑で、 p は或る粒徑の篩通過量百分率であつて、 d_a は最小粒徑、 d_b は最大粒徑とする。此の場合考へる川筋に於ける任意の地點の砂礫混合狀態と其の各地點相互間の變化の有様を知るために、各地點に於ける混和比を求める場合に d_m としては考へる區間内で得られた最大粒徑を以て之に當てた。即ち

$$\frac{A_1}{A_2} = k_b$$

茲に A_2 は d を考ふる區間の上流端に於て得られた最大粒径 d_m をとつたものである。此の場合 k に b と云ふ接尾字を附す。

λ は圖-38 に於て平均粒径以上の重量百分率と夫れ以下の重量百分率との比を示すもので、之は砂礫混和曲線の形を表すものと云ふことが出来る。

$$\lambda = \frac{\sum_{p=p_m\%}^{p=100\%} d \cdot Ap}{\sum_{p=0\%}^{p=p_m\%} d \cdot Ap}$$

茲に $p_m\%$ は平均粒径に相當する重量百分率である。

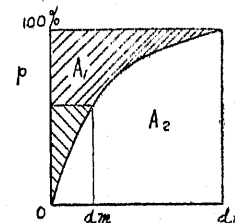
(1) τHI と d_m との關係

掃流力と平均粒径との關係を見るために對數方眼紙に τHI を縦軸に、 d_m を横軸にとると圖-40 に示す通りである。之に前記實驗の結果を添加すると之は殆んど直線で表はされ而も基準點から 45° の直線となるのであるから、 d_m は τHI に直線的に比例することとなる。殆んど總ての點は此の直線を延長したものゝ左側に在り、而も粒徑の大きな部分にあつては大體之に平行してゐる様に見受けられる。之は此の直線が限界掃流力を示してゐるものであつて、此の左側の部分に在ると云ふことは此の部分に作用する流水の力は抵抗力を超えてゐることを表はし、相當河床は移動してゐることを意味するものである。細粒の部分は其の移動限界が尙一層大きいと云ふことになる。此の結果は Krey の實驗と良く一致してゐる。

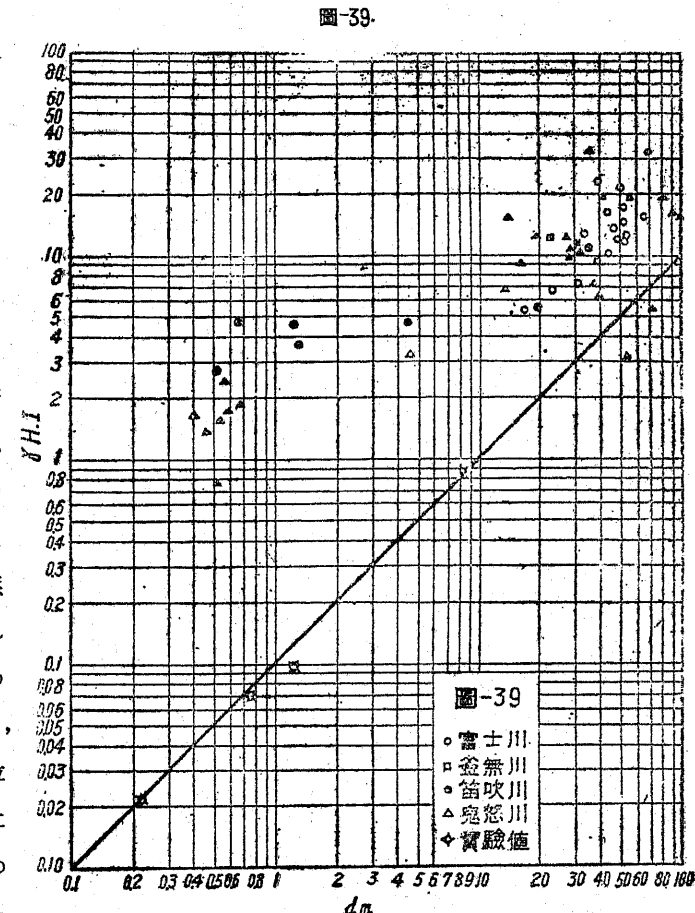
(2) τHI と k との關係

掃流力と混和比との關係を見るために前と同じ様に對數方眼紙に τHI を縦軸に、 k を横軸にとると圖-40 の通りである。此の結果は $\tau HI : d_m$ に示されるものと殆んど同様であつた。之に依れば砂礫の混和状態は明らかに流水の河

圖-38. 篩分曲線



床に及ぼす
力に關聯を
持つことが
窺はれる。
以上の狀態
から考へる
と d_m と k
との間には
かなり明瞭
な關係が認
められるの
で、 d_m と
 k との關係
を圖示す
れば圖-41 の
如くになり、
之は最大粒
徑を同一に
とつたもの
即ち d_m と



〔2〕 河相論

(3) x と k との關係

して定めた或る値の如何に依つて異なるが、平均粒徑の變化する割合は混和比の變化する割合と殆んど同一である。此の k は流下するに従つて砂礫の混和状態の變化する有様を示すものであるが、之に依れば平均粒徑も同様な割合で變化することが認められる。

茲に α は
流下距離で
ある。流下
距離と混和
比との関係
は圖-42 の
通りであ
る。此の場
合は半對數
方眼紙を用
ひた。之に
依ると平均
粒徑 5 mm
以下の場合
は以上に比
し著しく異
り、同一關
係で律する
ことは困難
である。平

均粒徑 5 mm 以上の部分では殆んど對數曲線で表はすことが出来るが、夫れ
以下の部分は急變する。此の區分點は丁度礫と砂との分界點であつて、鬼怒川、
笛吹川何れの場合にも之以下では表面には砂利は見受けられない。

敍上の關係から大體に於て河床砂礫の混和比又は砂礫の平均粒徑は流下に從
つて對數曲線で漸變することが認められ、此の事實は Sternberg が單獨の礫

圖-40.

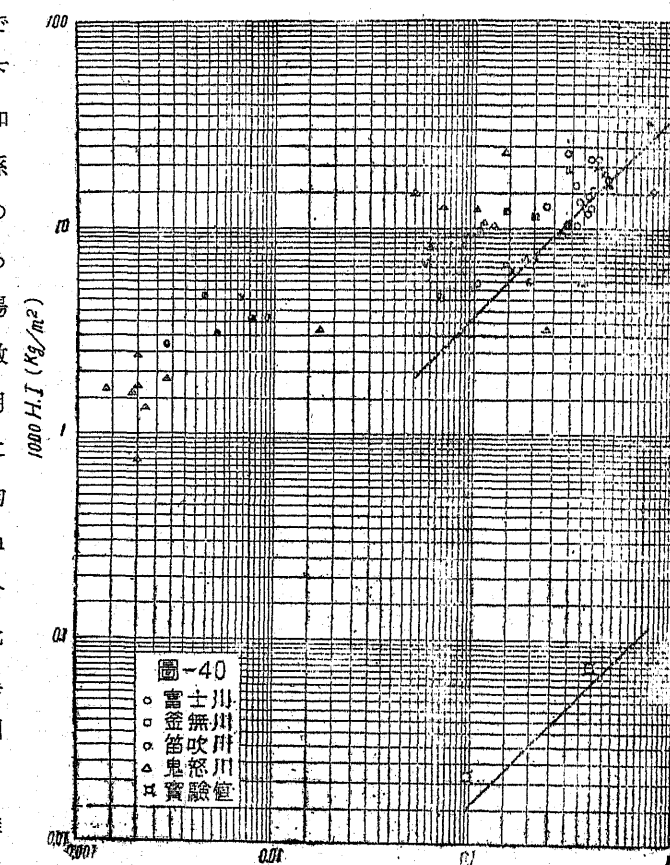


圖-40
○ 富士川
□ 金無川
△ 笛吹川
▲ 鬼怒川
× 實驗値

が流下する
に従つて其
の重量を對
數曲線に從
つて漸變す
ると認めて
ゐることと
一致してゐ
る。之に依
れば河床の
抵抗は又其
の構成狀態
に依つて異
ると云ふこ
とが云ひ得
られる。從
つて河床砂
礫の平均粒
徑、混合比
は河床勾配
を決定する重要な一要素をなしてゐることが考へられるのである。

〔2.5.3〕 限界掃流力公式

河床面積 $1 m^2$ に作用する掃流力に對應する抵抗力 K は之を理論的に考へ
ると、此の場合砂礫層の厚さを d 、 α を砂礫の空隙率、 τ_1 を其の比重、 τ を
水の比重、 f を摩擦係数とすれば、

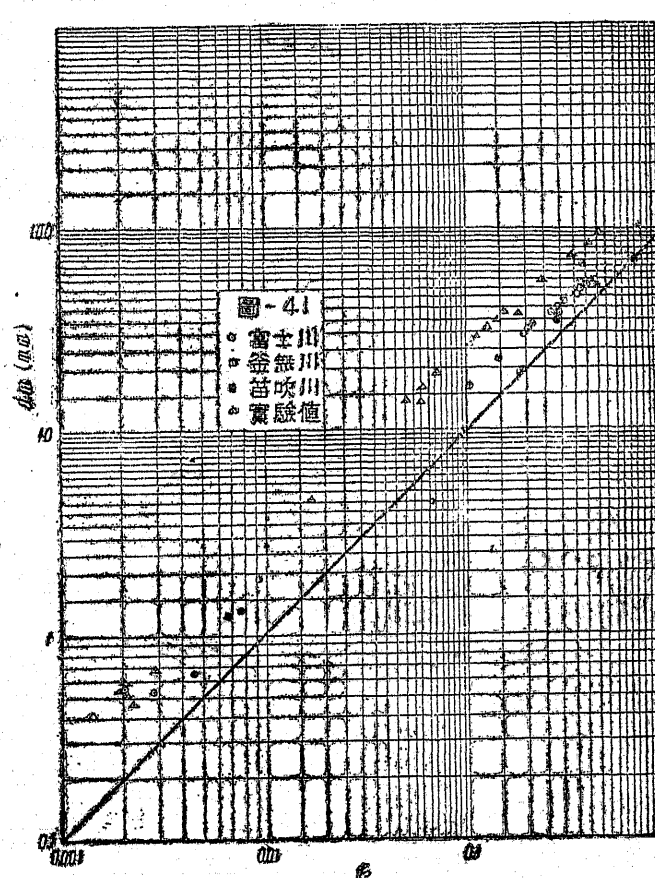


圖-41
○ 富士川
□ 金無川
△ 笛吹川
▲ 鬼怒川
× 實驗値

〔2.5〕河川の平衡勾配

$$K = f(r_1 - r) (1 - \alpha) d \cdot 1.1 (\text{kg}/\text{m}^3) \dots\dots\dots(62)$$

で表はされる。之は掃流限界に於ては限界掃流力に等しい。

其處で d の代りに平均粒径 dm を用ひ、 α は空隙率であつて dimension のない數値であるから之に關聯して空隙の状態を表はす dimension のない數直として前記の平均粒径以上の重量百分率とそれ以下の重量百分率との比を用ひることにして、上式を書き換へば、

$$\begin{aligned} S_0 &= K \\ &= \alpha(r_1 - r)\lambda \cdot dm \end{aligned} \dots\dots\dots(63)$$

となる。茲に α を實驗に依つて定めればよい。

前記實驗並びに上述の富士川及び鬼怒川で求めた資料から rHI と $\lambda \cdot dm$ の關係を求めるた

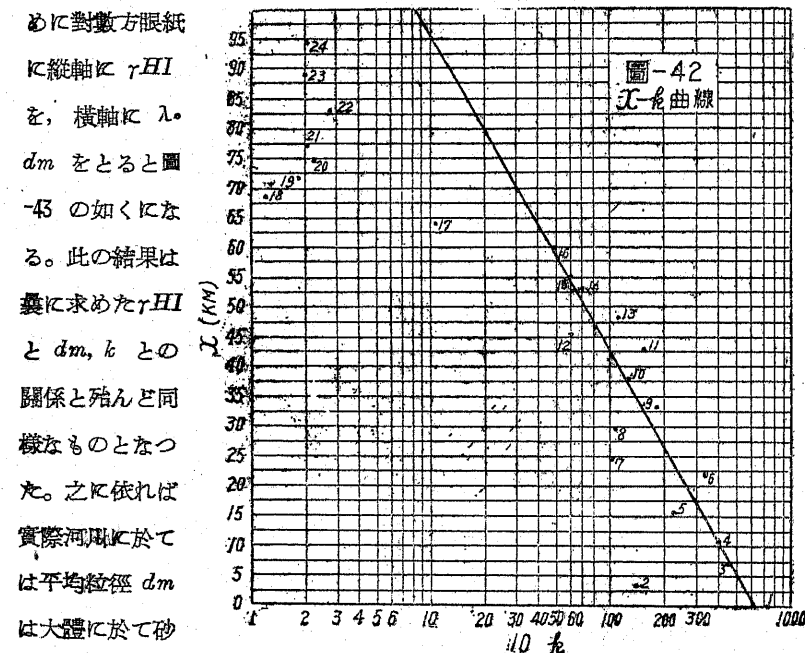


圖-42.

X-l^a曲線

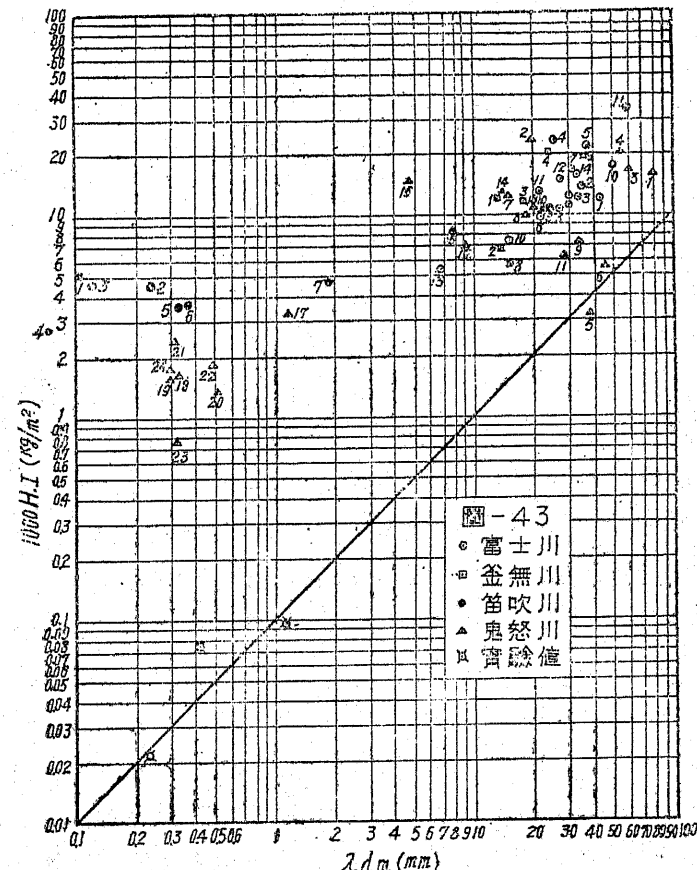
めに對数方眼紙に縱軸に rHI を、横軸に $\lambda \cdot dm$ をとると圖-43 の如くになる。此の結果は表に求めた rHI と dm , k との關係と殆んど同様なものとなつた。之に依れば實際河川に於ては平均粒径 dm は大體に於て砂

〔2〕河相論

礫の混合状

態をも表はすと云ふことであり、Krey の云ふところも妥當である考へられる。併し之は考へた範圍内に於て混合状態に餘りに不規則な混合状態のなかつたことをも意味するものであり、理論上は粒径と共に其

圖-43.



の密度の状態を考慮すべきであつて、限界掃流力公式として此の形を探ることは至當である。圖-43 に見るやうに實驗の結果は大體に於て rHI と $\lambda \cdot dm$ とは直線的に比例してをり、實際河川に於ける測定値は殆んど總て此の延長線の左側に在る。此の事實は實際河川では明らかに限界掃流力を超えてゐることを示してゐると見て差支へない。注意すると此の實際河川に於ける測定値の間

にも或る關係が見受けられる。

富士川筋に於けるものは笛吹川の下流部に於けるものを除いては一群をなし、此の間の傾向は限界掃流力を示す直線と殆んど平行してゐる。笛吹川筋の笛-8～笛-11は殆んど直線をしてゐるが、此の間には河状に變化を及ぼす程の支流はなく、見掛けは河床の變化は僅少であり、而も殆んど同様であつて、かなりに安定してゐるもの如くに見受けられる。笛-7以下は一大右支荒川を合流して居り、河床面は砂のみであり、砂利は殆んど得られない。笛-1及び笛-2は流域未換の新河道の部分に在り、笛-3は其の直上に在つて、此の部分は河道の變化著しく、昭和5年新河道の通水以來約2mの河床低下を來した所である。此の影響は笛-7の附近迄及んでゐる。富士川は大體に於て笛吹川と同様な傾向が見受けられる。此の内富-4は狭塞部に於けるもので、水位の上昇著しく、測定の結果に依ると河床の移動は2m以上に達してゐることが認められて居り、富-13は特に河幅の廣い所で、上下流に比し細砂多く、河床の低下又は上昇を見ることが屢々あり、河床の移動の甚しい所である。

釜無川筋のものは多少不規則である。釜無川は近年は比較的河床の變遷は減じて來てゐるが、以前は河状極めて不良で、河道の維持に苦心した所である。釜-1は笛吹川との合流點直下に在り、笛吹川に依る細砂の堆積が著しい。

鬼怒川に於けるものは富士川に於けるものより一般に亂雑してゐる。鬼怒川には富士川河状を變化せしめる程の支流はないのであるが、河幅が極めて不規則で、非常に廣い所や狭い所があり、水面勾配は局部的に變動が多い。特に鬼-14から上流は河幅が廣く500mから1000mに及ぶもので、亂流し、資料採取地點の水深、勾配の決定に多少の誤差は免れない。大體に於て鬼-16より下流には砂利は殆んど表面には現はれず、鬼-17以下では砂利の採集は行はれてゐない。鬼-16は幅員120m程の狭塞部であつて、砂礫河川が急激に河状を一變し、表面に砂利を見受けない様になるところで、河床の移動の大きさ

ことは想像せられる。鬼-20は新に開墾した捷水路の下流端に位し、新河道通水後は稍流砂の堆積を見てゐる。之より下流は河状比較的整然として殆んど單断面であるが、水深大きく、一般に増水時には3m以上に及ぶ河床の移動が護岸根固の沈下等に依つて推定することが出来る。之は尤も掃流力以外の原因が含まれて居り、根固に用ひた沈床に依る渦のために細かい砂の吹きあげられるのにも因るのであるが、鬼に角可成りの深さの移動が認められてゐる。

限界掃流力の實驗が現在のところ實驗設備に依つて限られてゐるので、粒徑の大きなものに對しては試みられず、又其の種類も3種に過ぎないので、之丈で遽かに斷んすることは出來ないのであるが、現在の範圍内に於ては大體に於て以上の事實が認められ、従つて(62)式に依つて其の傾向を知ることが出来る。(62)式から實際河川に於て河床に作用する力が限界掃流力を超えてゐる程度を知ることが出来、其の程度に依つて河床の移動狀態が推定し得られるのである。河床の變動する状況は統上の説明の如く、此の理論と合理的な關聯を持つことが認められるから此の理論は成り立つものと考へられる。大體に於て(62)式と平行な關係に在る各地點の河床の變動状況は類似してゐることは確かである。實驗の結果から(62)式の數値を求めるとき

$$S_0 = \gamma H_0 I_0 \\ = 55.7(\gamma_1 - \gamma) \cdot \lambda \cdot d_m \quad (64)$$

となる。茲に S_0 は限界掃流力 (gr/m^2)、 d_m は平均粒徑 (mm)、 γ_1 は砂礫、 γ は水の比重である。

Kramer は空隙率即ち砂礫混合の状態を示すのに重量百分率 50% の粒徑以下の重量百分率に粒徑を乗じたものと以上の夫れとの比 M を用ひてゐるが砂礫の混合状態に依つて平均粒徑の重量百分率に相當異なることのあることを考へれば混合状態を示すには M を用ひるよりは基準を平均粒徑にとつた λ の方がよりよく其の状態を表はすことが出来る。又 Indri の如く常數を添加する

ことは平均粒径零の場合に専ら或る掃流力を與へることになり不合理である。Indri の云ふが如く限界掃流力曲線は實際には直線でなく、 $\lambda \cdot d_m$ の大きな場合にはより大きな値をとるものであり、或は抛物線形をとるのではないかと思はれる節もあるのであるが、著者の資料の範囲内では絞上の如く考へて差支へなく、(63) 式は (62) 式に従へば Kramer も云ふ様に dimension 的に誤りがなく、簡単であり、掃流理論とも一致し、又各項は容易に實際に測定し得られる値であるから限界掃流力公式として適切なものと考へる。

富士川及び鬼怒川に於ては大體に於て $\lambda \cdot d_m$ (mm) が 0.4 の時には實際に河床に作用した力は限界掃流力の約 40 倍、 $\lambda \cdot d_m$ (mm) 1.0 で約 30 倍、 $\lambda \cdot d_m$ (mm) 10 で約 5 倍、 $\lambda \cdot d_m$ (mm) 40 で約 4 倍、 $\lambda \cdot d_m$ (mm) 50 で同様 5 倍位となつてゐた。之に依つて河床の移動状態を類推することが出来ると共に可動河床模型實驗に於て砂礫の移動を相似たらしめるための最も有效な手段とすることが出来るのである。

[2.5.4] 河川の平衡勾配

既に述べて來た様に河床に作用する力は $\gamma H I$ で表はされ、之に相應する河床の抵抗は砂礫の平均粒徑、其の混合状態に支配されるのである。此の河床の抵抗は $\lambda \cdot d_m$ で表はされる。

自然河川に於ては河床構成砂礫は流水に依る自然選擇作用に依つて次第に其の地點に於ける掃流力に對應する形態を探るものであり、此の結果若し他に之に影響を與へる條件のない限りは縱斷形は 1 個の美しい曲線を形造る。

鬼怒川に於ける河床砂礫から求めた數値に就て考へる。今基點を 0 として流れの方向に距離を x とし、 x と $\lambda \cdot d_m$ との關係を求める圖-44 の通りとなる。之に依れば大體に於て $x - \lambda \cdot d_m$ 曲線は對數曲線で表はすことが出来る。 d_m の値が 1~2 mm と云ふ普通河床が砂と云はれてゐる部分は夫れより上流の砂利の部分とは幾分異つた事狀に在るが、之は實際河川に於ても此の部分で

圖-44

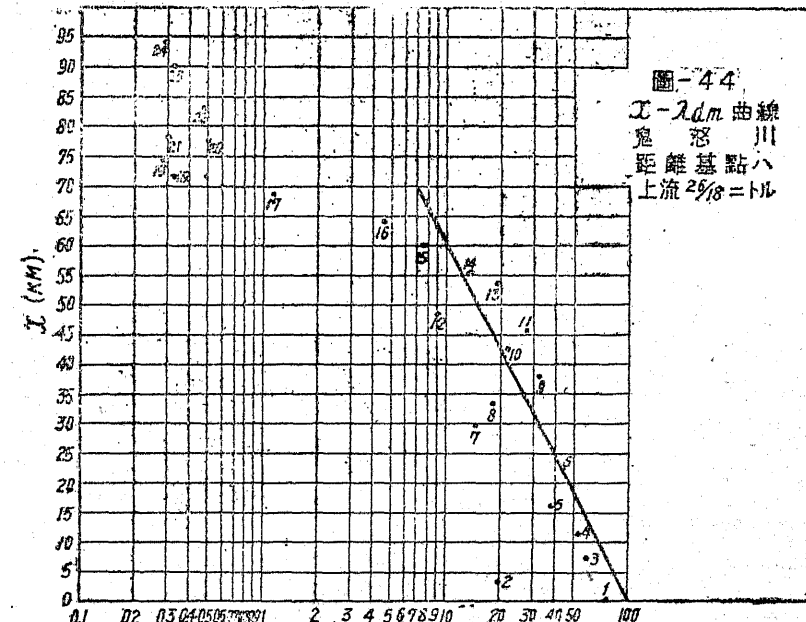
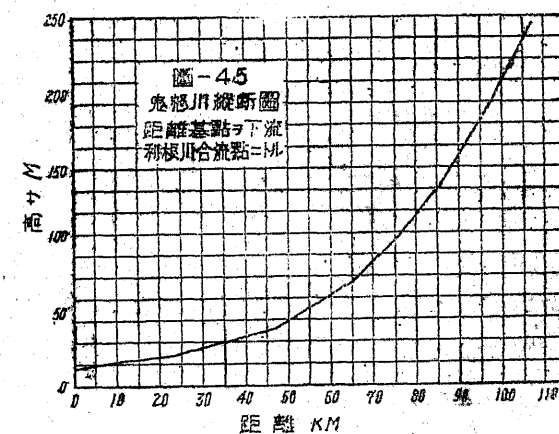


圖-44
工- $\lambda \cdot d_m$ 曲線
鬼怒川
距離基點ハ
上流 25/8 ニトル

圖-45



は河床勾配は急激に變化し、縱斷曲線は折れてゐる様に見えるのであつて、此の點は掃流力と河床抵抗との關係が此の上下流部分に於て同じ狀態に在るのでなく、周圍の條件に依つて河川が此の様な形をとる様餘儀なくさ

れて居り、其の結果河床の移動状態が上下流部分に於て相當異なるものであることが考へられる。夫れ故、特に周囲の條件に依つて支配される影響のない區間を考へる時は距離 x と $\lambda \cdot d_m$ との関係は一般に

$$x = a - b \log \lambda \cdot d_m \dots\dots\dots(65)$$

で表はすことが出来る。

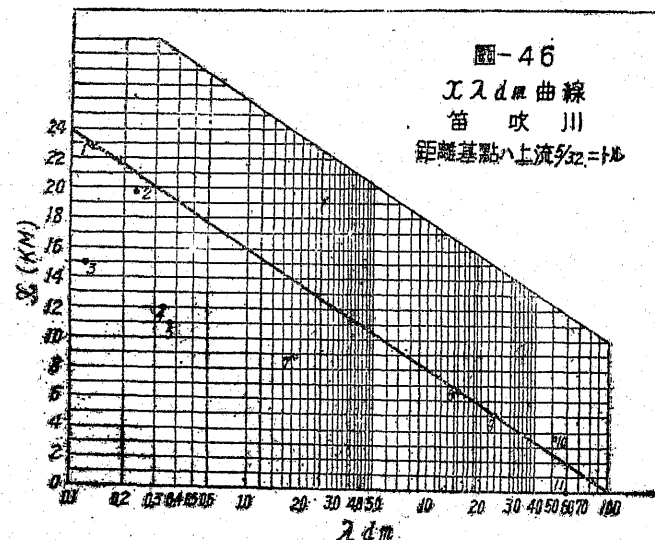
今之を鬼怒川の例にとれば

$$\lambda \cdot d_m = 10^{-\frac{x-120}{60}}$$

となる。茲に $\lambda \cdot d_m$ は mm, x は km である。

笛吹川に於て得られた資料に就て之を検討すれば圖-46 の通りとなる。此の場合も明らかに鬼怒川に於けるものと同様な傾向を示して居り、(65)式の關係は成立する。笛吹川では笛-7 の地點で荒川の合流を見るのである。

圖-46.



さて、河狀は明らかに此の上下流で異つてゐることは前述の通りである。此の上流部分は明治41年の大洪水の際に笛吹川が支川の河道を奪つて新たな水路を形造ったところであり、當時は著しく土砂の堆積を見たのであるが、其の後河

道の改修を行つたもので、爾來上流よりの土砂の流送も少く、自己の流水に依り自然に矯整されて、比較的に安定感の得られてゐる部分である。此の區間は水面幅は 250~210 m で、水深は昭和10年9月の出水では、3.00~2.50 m となつて居り、河道は比較的整然としてゐる。(65)式に此の場合の數値を與へると

$$\lambda \cdot d_m = 10^{-\frac{x-16}{8}}$$

となる。此の場合 $\lambda \cdot d_m$ の値は流下距離に従つて、鬼怒川の場合より減少率は著しく大きいが、之

は河道の正整なると、上流よりの流送砂礫の状況の異なるのに依るものと思はれる。

斯く考へると(64)及び(65)兩式から河床が平衡の状態に在る場合の流下距離に従つての掃流力の變化を知ることが出来る。即ち

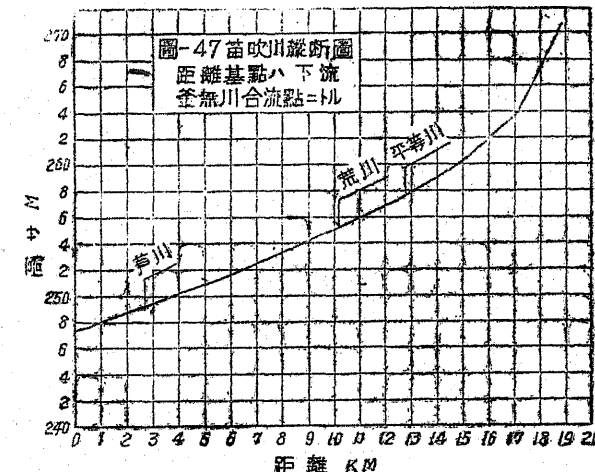
$$S_0 = 55.7(\gamma_1 - \gamma) \cdot 10^{-\frac{x-a}{8}}$$

と云ふ形をとるのである。

一般に自然河川の水流は次の如き不等速定流として表はすことが出来る。

$$I = i - \frac{dH}{dx} = \alpha \frac{d}{dx} \left(\frac{v^2}{2g} \right) + \frac{v^2}{C^2 R^{2n}} \dots\dots\dots(67)$$

茲に i は河床の自然勾配であつて、之を限界掃流力に關聯して解けば河川の



一般に自然河川では河床の砂礫は規則正しくは變化するものでなく、此の結果勾配の變化も同様となる。然乍特別の原因のない限り、河床構成砂礫は流水に依り自然に其の條件に適應する様な構成状態に移向して行くものであるから、(78)式に依つて求められる縦断曲線から將來への河床の變化を推定することが出来る。

今例を笛吹川にとれば $\lambda \cdot d_m = 10^{\frac{1.6-x}{8}}$ であることから、(78)式は

$$i = I_0 \cdot 10^{\frac{5}{28}(x_0 - x)} + \frac{3.45}{28} \cdot H_0 \cdot 10^{\frac{1.5}{28}(x - x_0)}$$

$$= 0.00195 \times 10^{\frac{5}{28}(6.7 - x)} + 0.358 \times 10^{\frac{1.5}{28}(x - 6.7)}$$

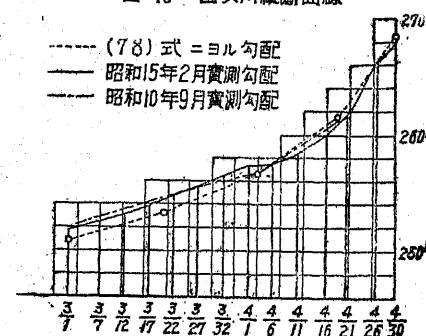
茲に I_0, H_0 としては丁杭 4/3 に基準を置いたもので、夫々 0.00195, 2.80 m の値を有し、此の點の位置は基準点から 6.7 km のところに在る。 x は考ふる位置の基準点からの距離を km で表

したものである。數値計算に當つては dH/dx に相當する項は距離の単位が km であるから、 H の単位 m と一致せしめるために 1/1000 を乗ずるものとする。以上に依り之を表示すれば右表の如くにして圖示すれば圖

-49 の通りとなる。圖-49 には昭和 10 年 9 月の洪水直後及び昭和 15 年 2 月の縦断曲線を並記してゐるが、此の區間は明治 40 年の洪水の際に流送土砂で殆んど埋没せられたものが、漸時流水に依り現況を形造つて來たものであり、現在

丁 杭	距 離 (x km)	河床勾配 (i)	基準面高 (m)
4/30	3.7	0.00694	268.32
4/18	5.0	0.00397	261.23
4/3	6.7	0.00195	256.60
3/20	8.7	0.00132	252.94
3/1	10.9	0.00095	250.45

圖-43. 笛吹川縦断曲線



流路は比較的整然として居

り、平衡状態に近かつぎつゝあるものと考へられるもので、之に依れば (78) 式は大體に於て實況を示すものと考へることが出来る。

上流部は尙相當亂流して居り、漸時河床の低下することは (78) 式に依るのみでなく、昭和 10 年及び昭和 15 年の實績からも類推す

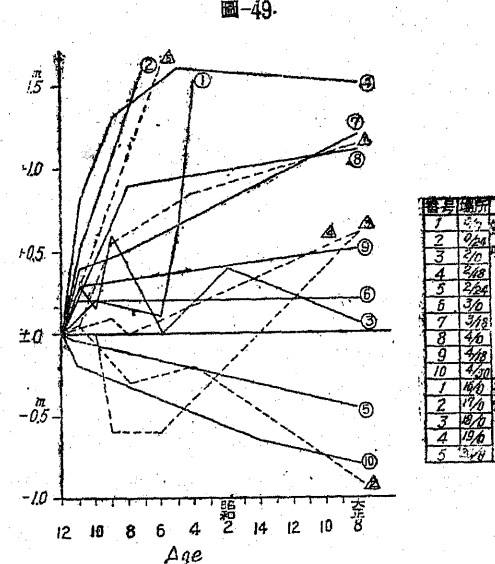
ることが出来る。(78)式の計算に當つては基準を現況

にとるのであるから、其の撰定に依つて平衡なる河床勾配は多少異つて来る。著者は夫れで此の場合此處數年間比較的移動の歎い 4/3 を一應基準としたのである。之に依れば 4/3 より下流の部分では平衡勾配は現況より下つて居り、此の部分は尙將來低下すべく、上流部に比し移動深は一層大なるものと推察せられる。

[2.6] 河相と河川工法との關聯性に就て

著者は以上に於て在るがまゝの河状に作用する諸力の關係を説明して來た。

一般に砂礫の移動は極めて表面的であり、表面砂粒の移動のために引きづられて内部の砂粒迄一緒に働くものとは考へられない。枯葉が吹き捲られるか、粉雪の吹き飛ばされるが如き状態で流動して行く、而も此の掃流されつゝある状態は河床砂礫の細粗粒の混合状態に依つて又異なるのである。



限界掃流力 S_0 を

$$S_0 = r H_0 I_0$$

と定義すれば、之は砂礫の性質に従つて或る定数であることが確かめられた。即ち砂粒の掃流の限界點では水深と勾配とは反比例するのである。此の事實は實際河川に於ても見受けられるのであって、富士川、鬼怒川での調査に依れば勿論最近の大出水に於ては遙るかに限界掃流點を超えて居り、河床は相當量の移動を見てゐるのであるが、類似の状況の所では相對的に此の關係が成立する。此の掃流限界點から離れてゐる部分、或は基準を之と相對的な或る一定の掃流狀態にとつた場合に之から離れてゐる部分に於ては特に砂礫の堆積を見るとか又は時に深い洗掘を生ずるのである。圖-49は釜無川及び笛吹川の大正10年以來の河床高の變遷を示すものであるが、之は昭和13年の河床高を基準とし既往に溯り、+ に河床の上昇高、- に其の下降高を示したもので、之に依れば河床高の年々の變動の多い所では概して砂礫の混和狀態に不規則の關係が多い。釜無川は大體に於て同一傾向を以て變化してゐる笛吹川に比し、砂礫の平均粒徑、其の混和狀態は不規則であり、河床高の變化は著しく大きい。之は河床が一層不安定になることを示してゐるものである。

限界掃流力は砂礫の性質に依つて或る定数であると云ふことから Krey は之を平均粒徑で表はし、Kramer は平均粒徑と空隙率、——之を細粗粒の混合比 M で示してゐる——と表はした。併し此の M は砂礫の篩分曲線を表はすには不十分であるので、著者は M が篩分重量 50% の粒徑を基準とするのを平均粒徑を基準とする λ に代へた。篩分曲線の形に依り平均粒徑が異り、之に従つて其の篩通過重百分率が變るのであるから、 λ の方が M よりもより適切に細粗粒の混合狀態を表はし得るものと考へる。斯くて限界掃流力 S_0 を與へる式として

$$64) \quad S_0 = 55.7(r_s - r_\lambda)\lambda \cdot d_m$$

を求めたのである。此の式は實際河川に於て考へられる總ての要素を含んで居り、而も之は容易に測定し得られる値であると共に此の式の形式は掃流理論とも一致してゐる。

河川が平衡狀態に在る場合には砂礫の平均粒徑 d_m と混合比 λ との間には一定の關係のあることが認められた。砂礫の平均粒徑は Sternberg の法則を廣義に解釋することに依り流下するに従つて對數曲線で低下していくものと考えられるので、 $\lambda \cdot d_m$ も流下距離に従つて對數曲線で低下するものと推定せられる。此の事實は實測例から明らかに認めることが出來た。

夫れ故に平衡の狀態に在る河川では即ち途中に著しい砂礫の堆積、又は洗掘の見受けられぬ場合には掃流力も流下距離に従つて同様な關聯を以て變化してゐるのである。此の關係を河床の自然勾配を決定する條件として、次の河床平衡勾配公式を求めた。

$$78) \quad i = I_0 \cdot 10^{\frac{5}{3.5} \cdot \frac{x_0 - x}{b}} + \frac{3.45}{3.5 b} \cdot H_0 \cdot 10^{\frac{1.5}{3.5} \cdot \frac{(x - x_0)}{b}}$$

在るがまゝの自然河川の河床には其の構成材料に従つて或る一定の掃流限界點があり、之を超へると河床の移動を見るのであるが、一水系に於て掃流限界點を超へてゐる割合が一様でない限りは河床は美しい 1 個の縦断曲線を持つことが出來ず、河床の異状の移動から砂礫の堆積、洗掘を見る様になる。

河川改修に當つては此の河床の移動と云ふことは他の水理學的の資料と同様に極めて大切なものであり、重要な 1 つの基本事項である。河川改修に際し若し河川幅員を自由に定め得る場合には其の河状に應する様な水深を決定して幅員を定め得られるが、實際の場合には周囲の條件からなかなか斯くすることは困難であり、幅員は自然他から定められる場合が多い。又地形的に河床勾配の定まつてゐる場合もある。河床の安定を望むことは困難なことが多い。而も河床に作用する力、即ち流量には所に依つては非常に大きな差異があるので

る。河床の不安定の程度に應じて河川工法も自ら限られて來るのであり、其の特異性に應じた工法を採用しなければならない。或る河川に效果のあつた工法が他の河川では不結果を來したと云ふ事實は之に原因してゐる。捷水路、合流點或は護岸、水利等の處理に當つては特に此の問題は重大な關聯性を持つものであつて、決定的な役割をしてゐることを知らねばならない。

又此の問題は水理模型實驗に從事するものにとつては尙一層重要である。可動河床の模型實驗の相似律に關し1個の新しい指針を與へるものであつて、實際と模型とに於ける河床の移動狀態を類推せしめることから、定性的から一步進めて定量的にもはいり得られるであらう。

河川を處理する場合に解析的方法にのみ依つては至難な現況に於ては自然觀察と模型實驗とに依る部分が大きく、此の觀察及び實驗の結果を理論的に把握することに依り初めて普遍的な效果を得ることが出来るのであり、之等相互間の關係を明瞭ならしめ、普遍性を與へることに依り河川工法を更に合理化し、發展せしめることが出来るのである。

〔3〕 捷 水 路

〔3.1〕 概 説

沖積層地帯を流下する河川は一般に蛇行する傾向がある。蛇行河川は直行河川に比して不行狀を呈するのが普通であつて、著しく流水の疏通を害し、水位の上昇を來すと共に彎曲部凹岸では水面勾配が比較的緩になるにも關らず、河床の洗掘、河岸の決潰を來すと同時に其の反対側には砂洲を寄せる。又次の彎曲部に移る箇所、即ち主流が一方から他方に河を横斷する地點では流送土砂が堆積して濶筋を不安定ならしめ、勾配の急になる箇所をつくり、可航河川に於ては航行の大きな支障となつて居る。